

# Généralisation des attaques de Demirci et Selçuk

**Pierre-Alain Fouque**

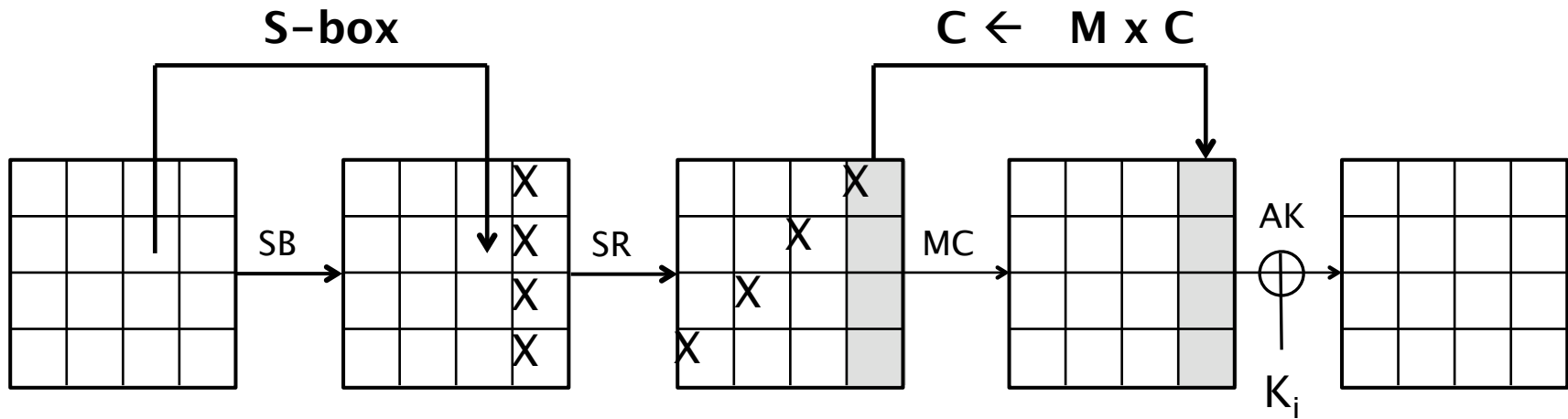
Ecole Normale Supérieure

(Travail en collaboration avec P. Derbez et J. Jean)

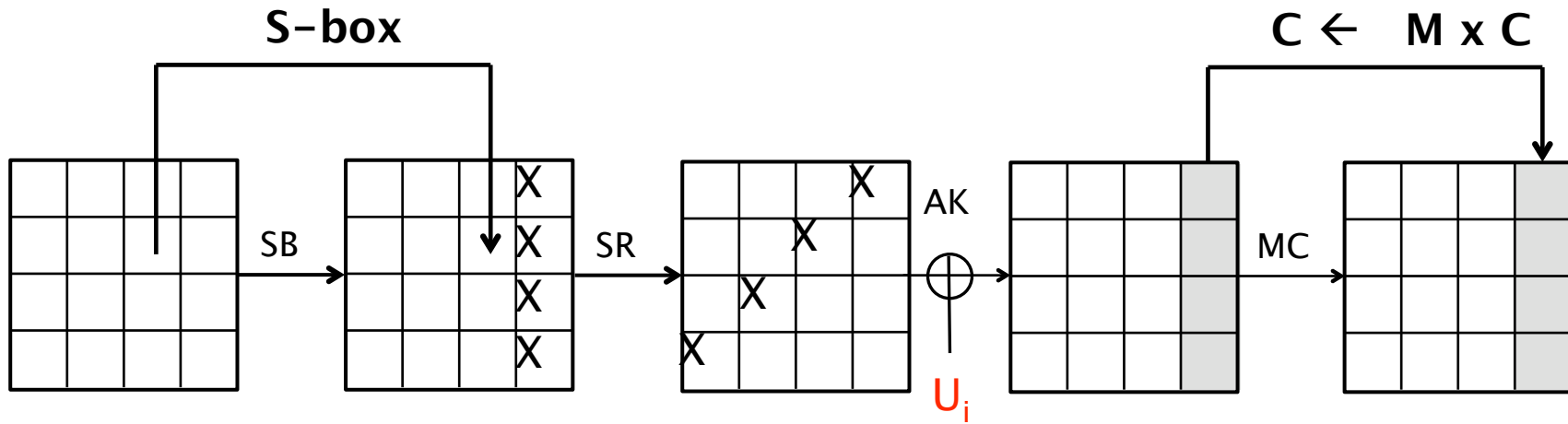
# Advanced Encryption Standard

- Conçu par Daemen et Rijmen pour la compétition AES
- Choisi car très bonne propriétés de sécurité et bonne performance
- Réseau de SPN (substitution–permutation)
- Taille des blocs
  - — 128 bits, 192, or 256 bits
- Nombre de tours dépend de la taille de clé (10/12/14, respectivement)

# Description de l'AES



# Description de l'AES



# Meet-in-the-middle attacks

- Récentes attaques par bicliques

Key size	Data	Time	Memory
128	$2^{88}$	$2^{126,2}$	$2^8$
192	$2^{80}$	$2^{189,4}$	$2^8$
256	$2^{40}$	$2^{254,4}$	$2^8$

- Gain marginal par rapport à la recherche exhaustive
- Peut-être une piste pour réellement casser l'AES ?

# Meet-in-the-middle attacks

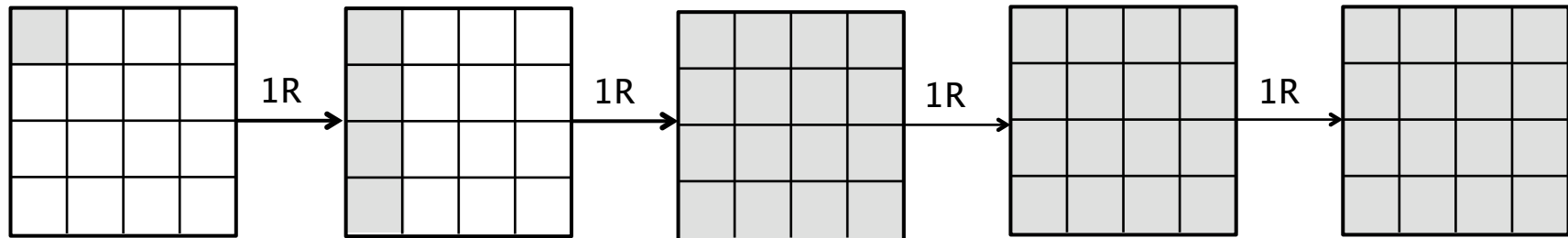
- Bouillaguet, Derbez et Fouque [C'11]:
  - classe d'attaques meet-in-the-middle basées sur la forme des équations décrivant l'AES
  - Conception d'un outil recherchant les meilleurs attaques
  - Très bon résultats sur 1, 2, 3 et 4 tours
- Inconvénients :
  - Complexité de la recherche exponentielle en le nombre de variables
  - Prise en compte d'un nombre limité de messages

# Meet-in-the-middle attacks

- A FSE 2008, Demirci et Selçuk ont présenté de nouvelles attaques meet-in-the-middle sur 7 et 8 tours d'AES
- Amélioration de l'attaque de Gibert et Minier
- Asiacrypt 2010, Dunkelman, Keller et Shamir améliorent ces résultats et obtiennent les meilleurs attaques connues sur 7 et 8 tours d'AES

# Demirci–Selçuk Attack

Considérons un ensemble de 256 messages de la forme :

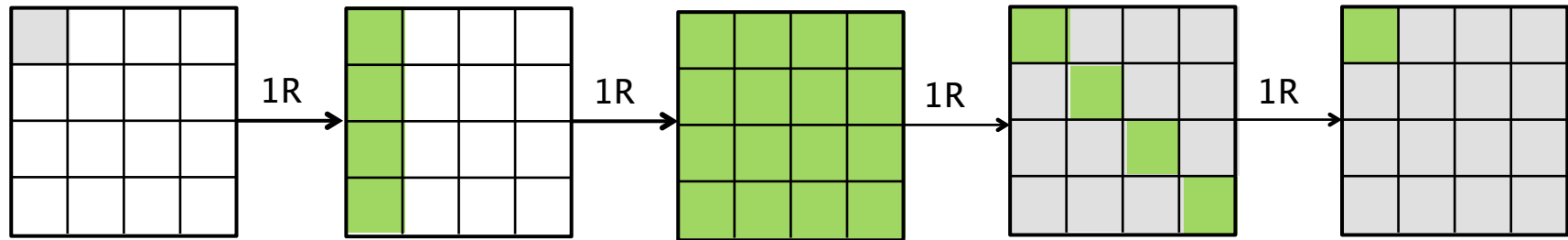


- Pour chaque octet du dernier état, la suite ordonnée des 256 valeurs de cet octet est entièrement déterminée par 25 paramètres de 8 bits
- Donc, seulement  $2^{200}$  suites possibles au lieu de  $2^{2048}$
- Les 25 paramètres sont faciles à obtenir



# Demirci–Selçuk Attack

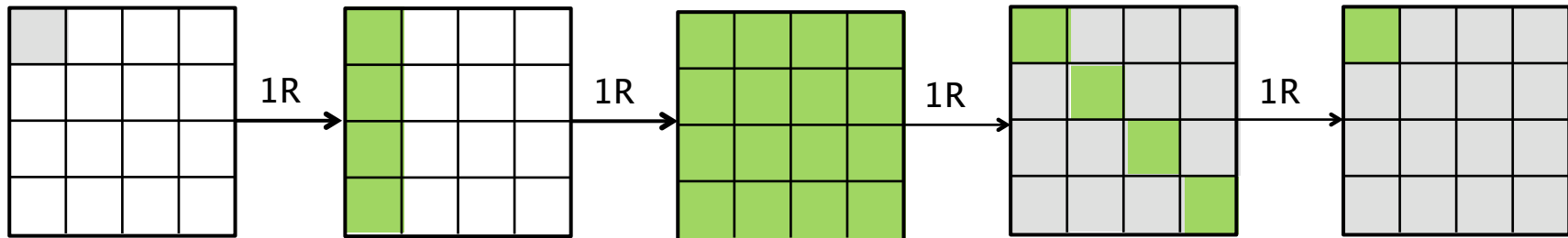
Considérons un ensemble de 256 messages de la forme :



- Pour chaque octet du dernier état, la suite ordonnée des 256 valeurs de cet octets est entièrement déterminée par 25 paramètres de 8 bits
- Donc seulement  $2^{200}$  suites possibles au lieu de  $2^{2048}$
- Les 25 paramètres sont faciles à obtenir

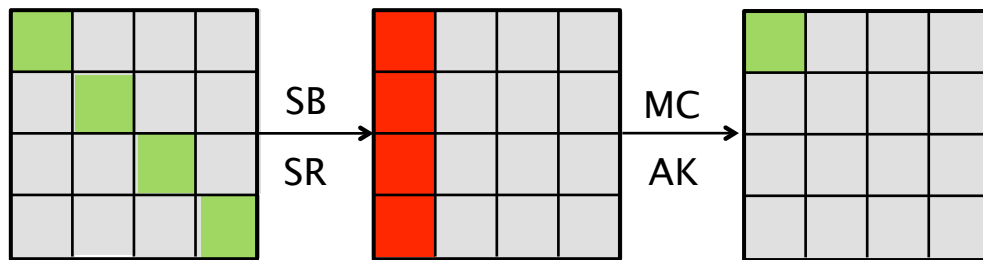
# Demirci-Selçuk Attack

Considérons un ensemble de 256 messages de la forme :



- Pour chaque octets du dernier état, la suite ordonnée d'octets est

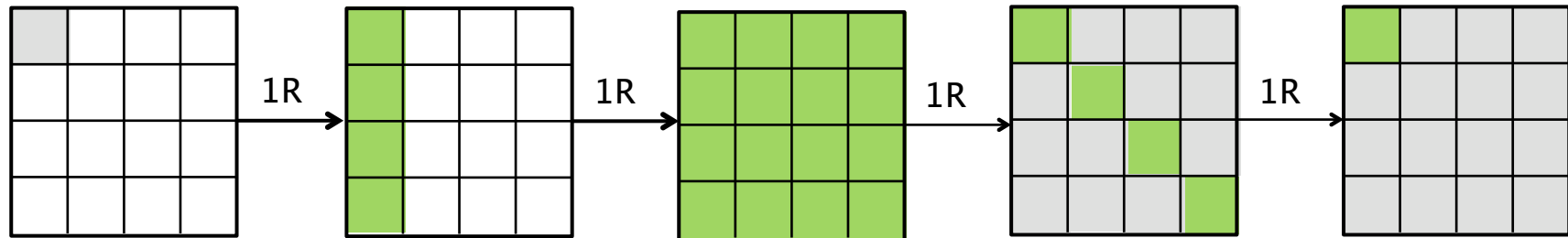
Quatrième tour



- Les 25 para...

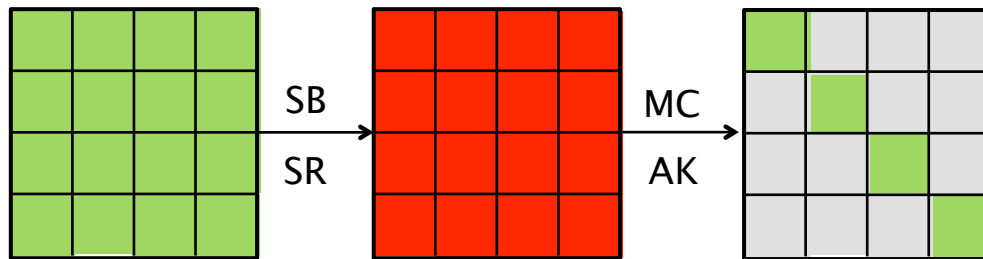
# Demirci-Selçuk Attack

Considérons un ensemble de 256 messages de la forme :



- Pour chaque octets du dernier état, la suite ordonnée d'octets est

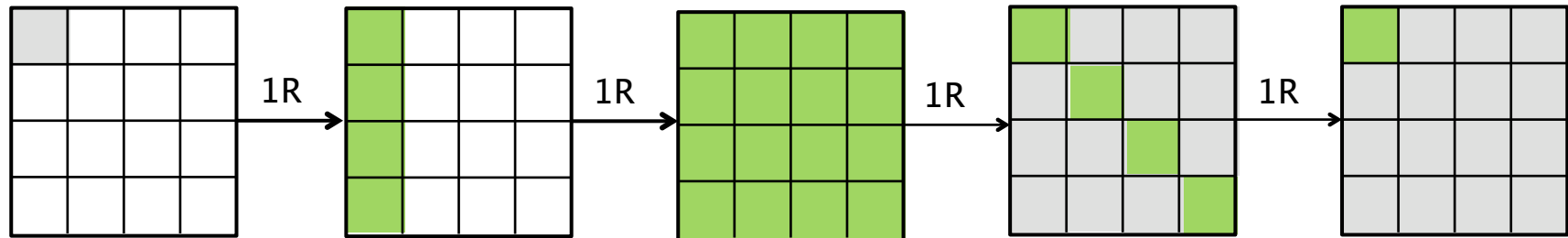
Troisième tour



- Les 25 para...

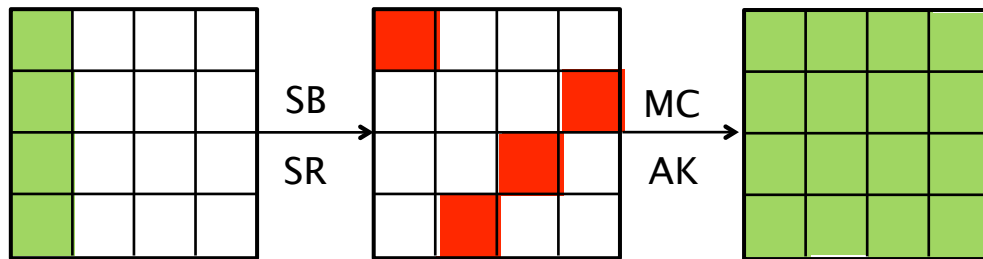
# Demirci-Selçuk Attack

Considérons un ensemble de 256 messages de la forme :



- Pour chaque octets du dernier état, la suite ordonnée d'octets est

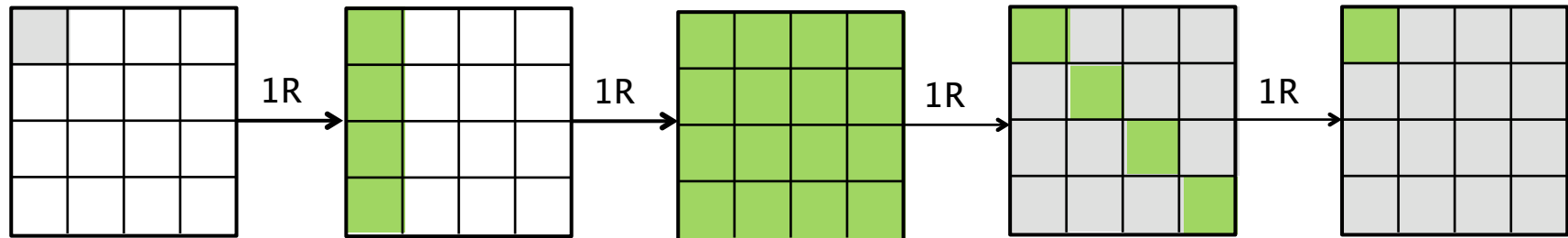
Deuxième tour



- Les 25 para...

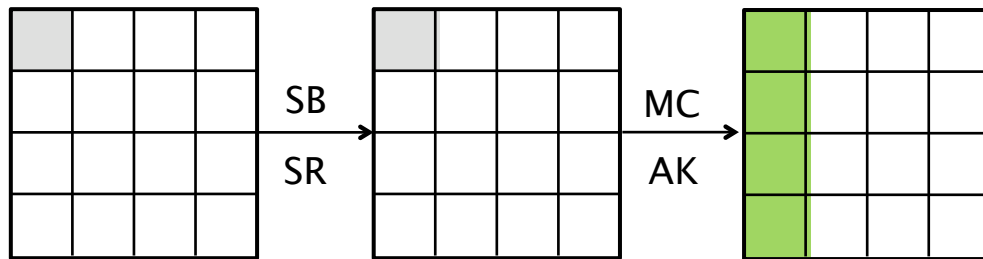
# Demirci-Selçuk Attack

Considérons un ensemble de 256 messages de la forme :



- Pour chaque octets du dernier état, la suite ordonnée d'octets est

Premier tour

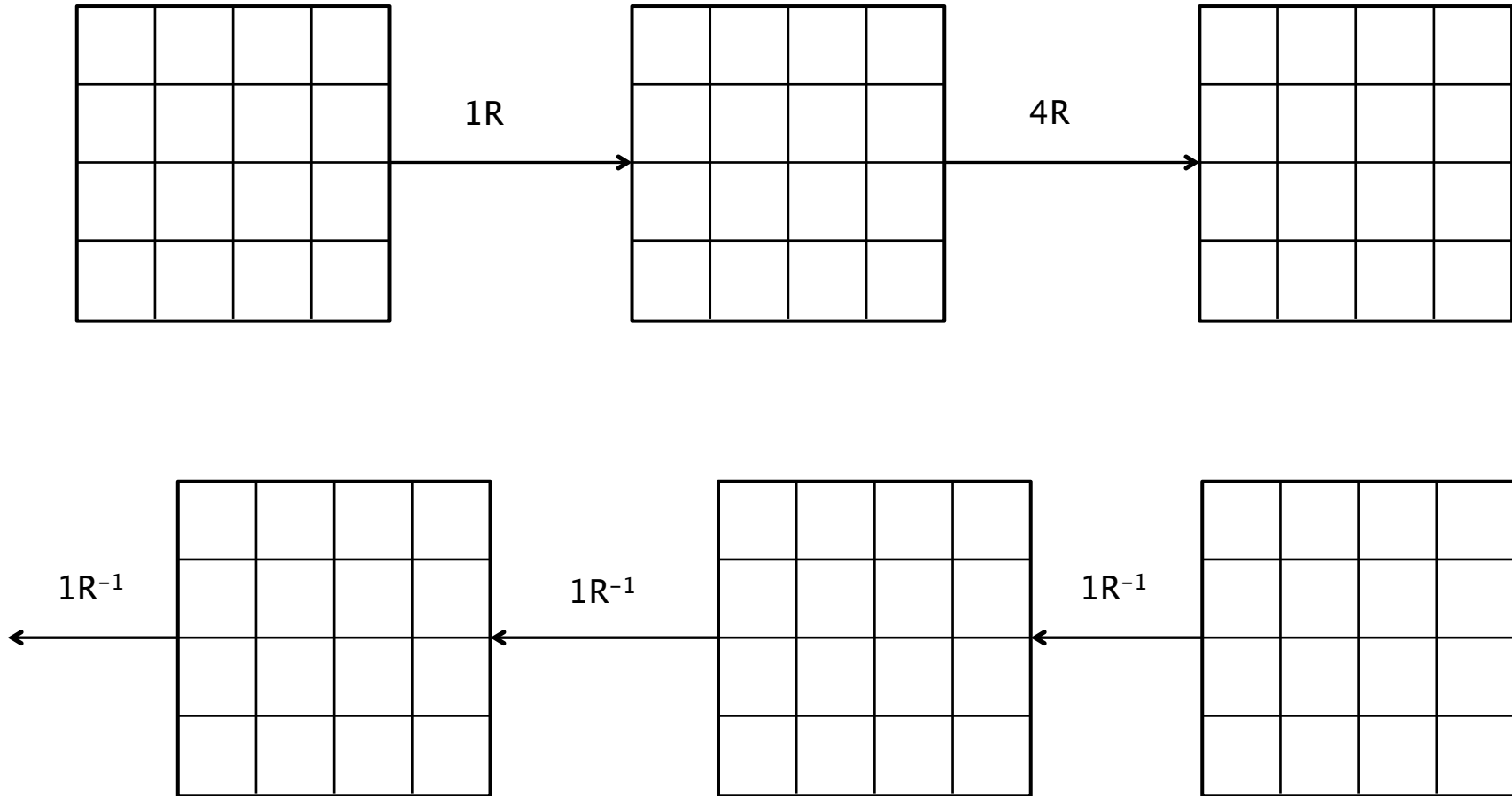


- Les 25 para...

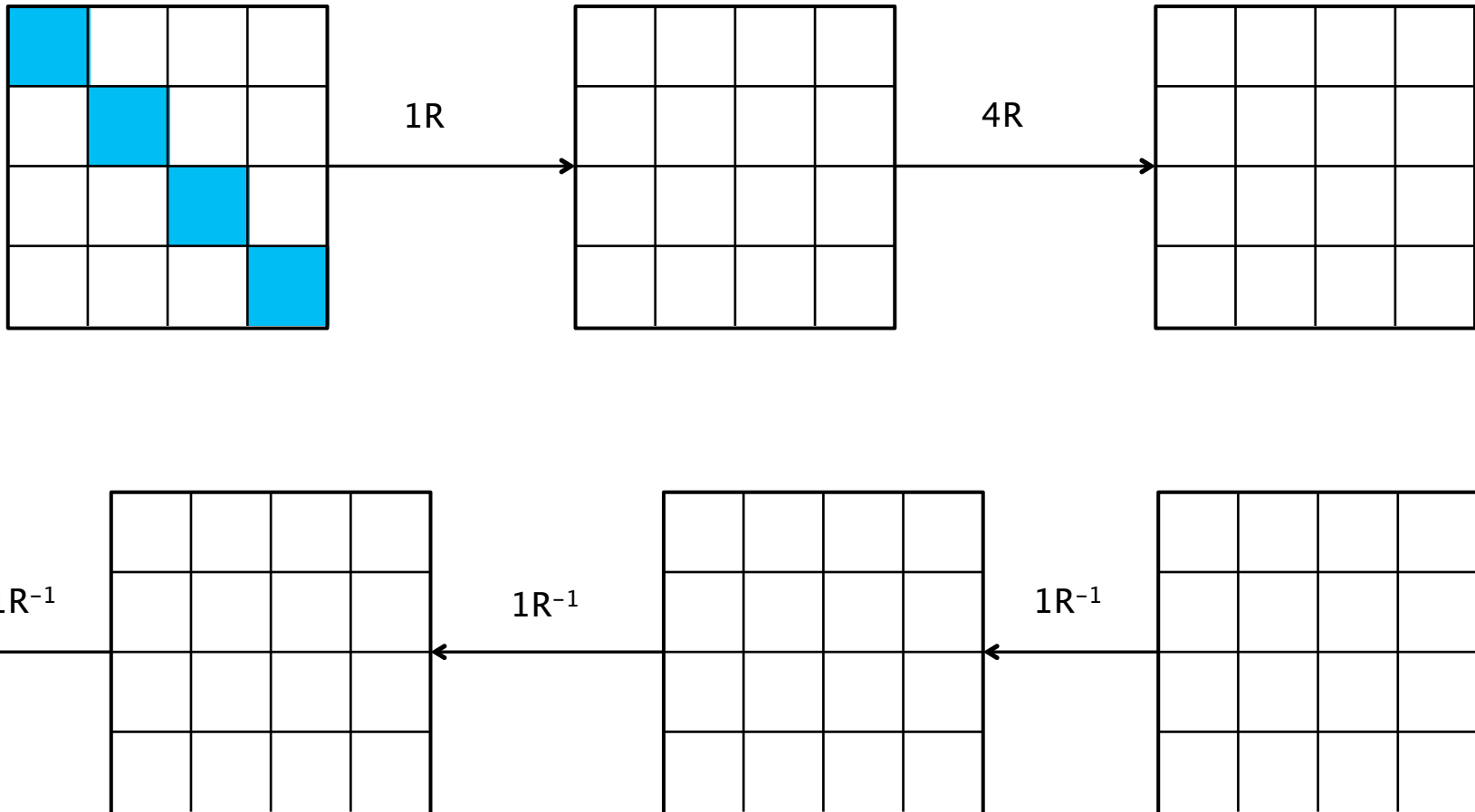
# Demirci–Selçuk Attack

- L'idée est de construire ces  $2^{200}$  suites et de les stocker dans une table de hachage
- Dans la phase online, l'adversaire déchiffre partiellement un **bon** ensemble de 256 messages et vérifie si la suite est dans la table
- La probabilité qu'une mauvaise clé passe ce test est négligeable

# Demirci-Selçuk Attack



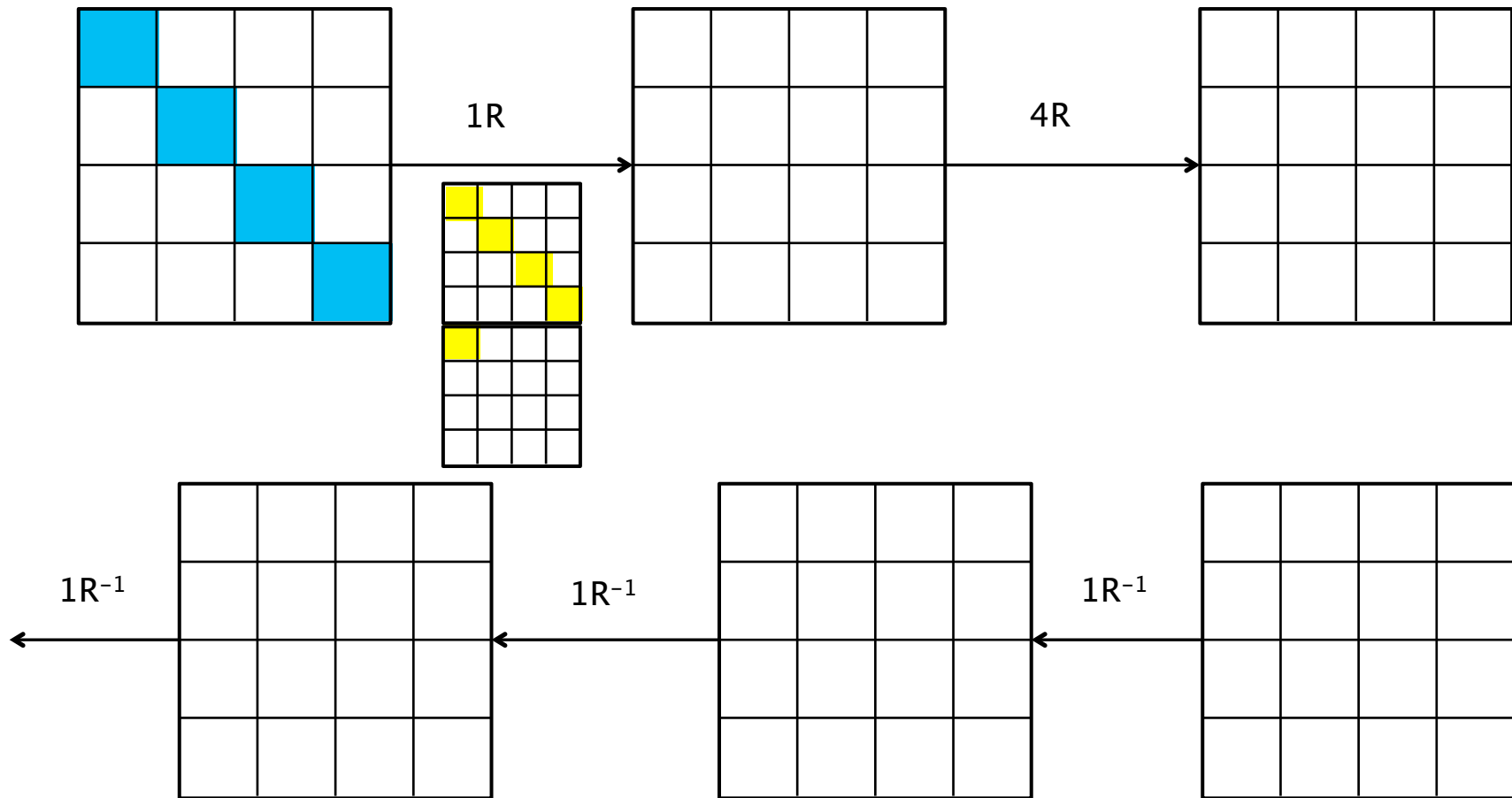
# Demirci-Selçuk Attack



- Demander une structure  $2^{32}$  messages.

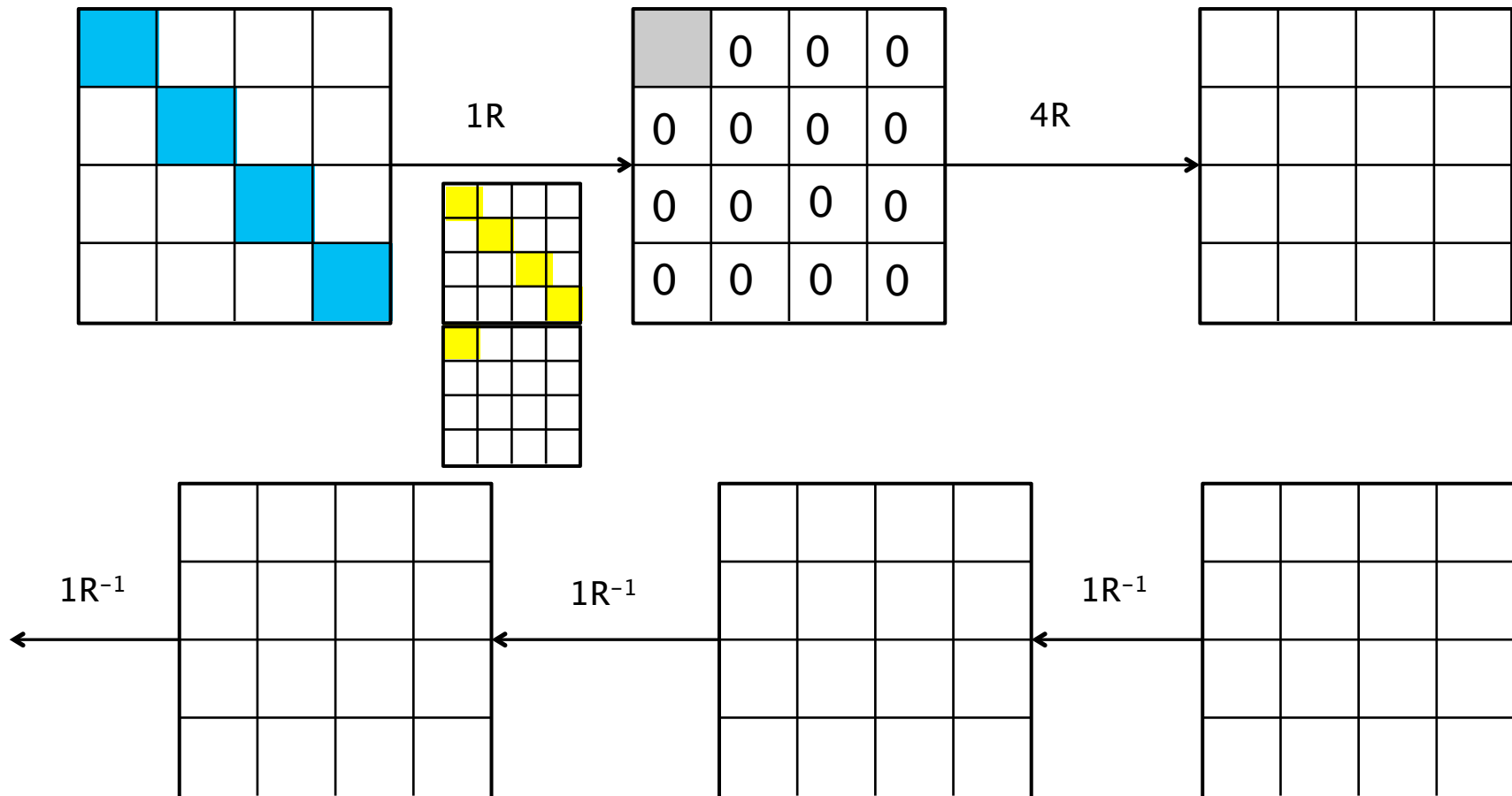


# Demirci-Selçuk Attack



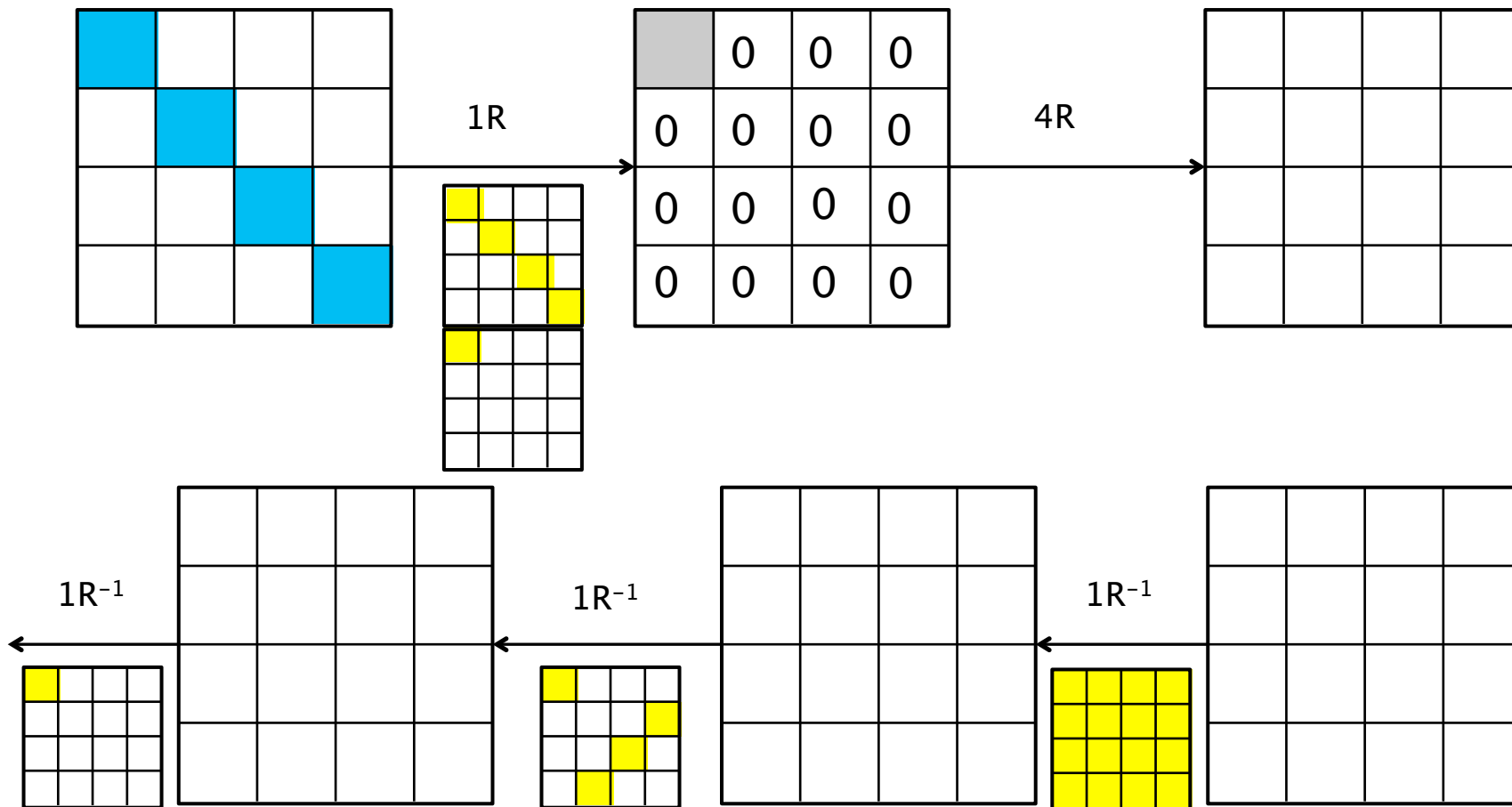
- Deviner 4 octets de  $K_0$  et un de  $K_1$ .

# Demirci-Selçuk Attack



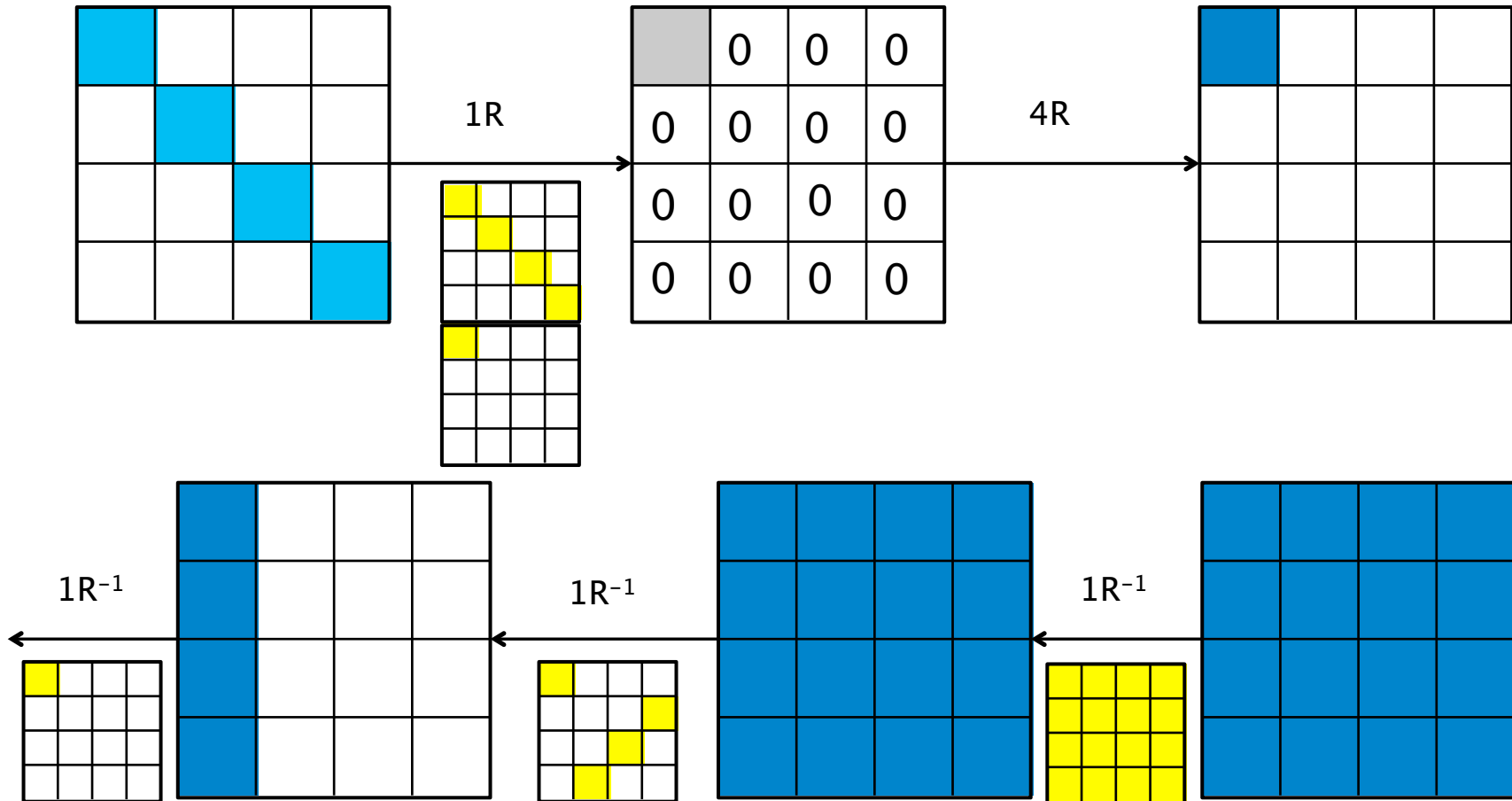
- Identifier un ensemble de 256 de la bonne forme

# Demirci-Selçuk Attack



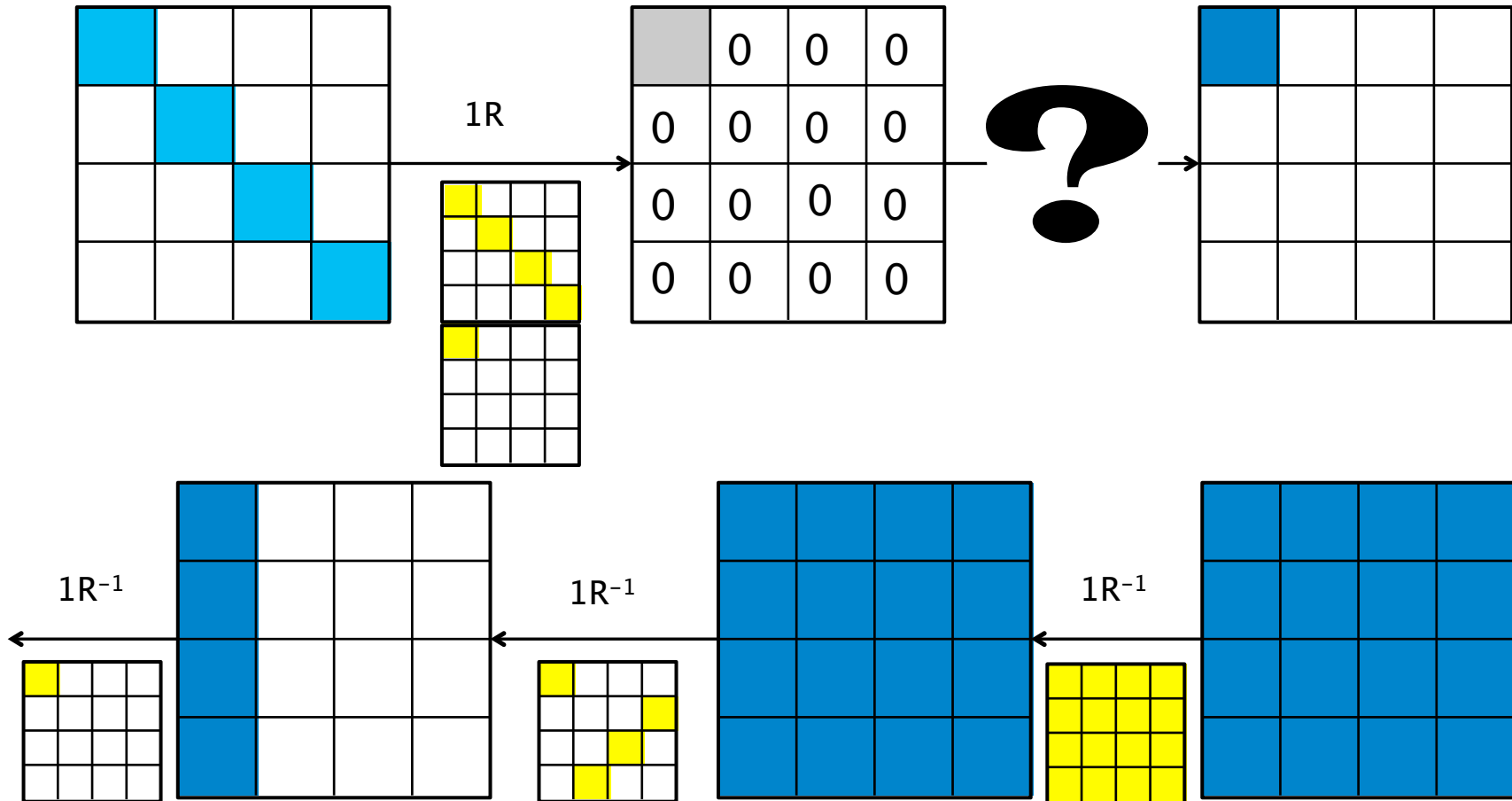
- Deviner 16 octets de  $U_8$ , 4 de  $U_7$ , et 1 de  $U_6$ .

# Demirci-Selçuk Attack



- Déchiffrer partiellement les chiffrés.

# Demirci-Selçuk Attack



- Vérifier si la séquence est valide.

# Demirci–Selçuk Attack

- Réduire la taille de la table en ne stockant qu'une fraction  $\alpha$  des séquences possibles
- En contrepartie, l'attaque devra être répétée, multipliant ainsi la complexité en données et en temps par un facteur  $1/\alpha$
- L'attaque devient probabiliste
- Résultats :

Version	Rounds	Data	Memory (Pre.)	Time	MinMax
AES-192	7	$2^{46+n}$	$2^{192-n}$	$2^{94+n}$	$2^{143}$
AES-256	7	$2^{34+n}$	$2^{204-n}$	$2^{82+n}$	$2^{143}$
AES-256	8	$2^{34+n}$	$2^{206-n}$	$2^{205,6+n}$	$2^{205,8}$

# Commentaire sur Demirci–Selçuk's Attack

- Une structure de  $2^{32}$  messages se divise en  $2^{24}$  ensembles de 256 messages de la bonne forme
- Les données peuvent donc être réutilisée
- On peut diviser la taille de la table par 256 :

$$f_{c_1, \dots, c_{25}}(i) = g_{c_1, \dots, c_{24}}(i) + c_{25}$$



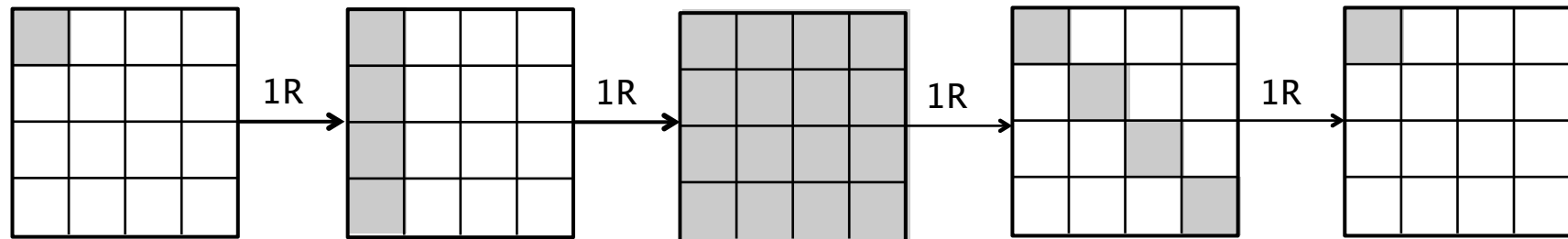
Stocker la séquence  $[f(0) + c_{25}, \dots, f(255) + c_{25}]$

# Multiset tabulation

- Dans la phase online, l'octet de  $K_1$  est deviné uniquement pour ordonner la séquence
- Idée : considérer les suites **non-ordonnées**
- Double avantage :
  - Economie d'un guess dans la phase online
  - Petit gain mémoire
- Inconvénient : # suite. non-ordonnées  $\ll$  # seq. ordonnées  
mais suffisant dans ce cas



# Enumération différentielle



- Seulement  $2^{64}$  valeurs possibles pour l'état avant/après le troisième SubByte.
- 16 paramètres parmi les 24 nécessaires.



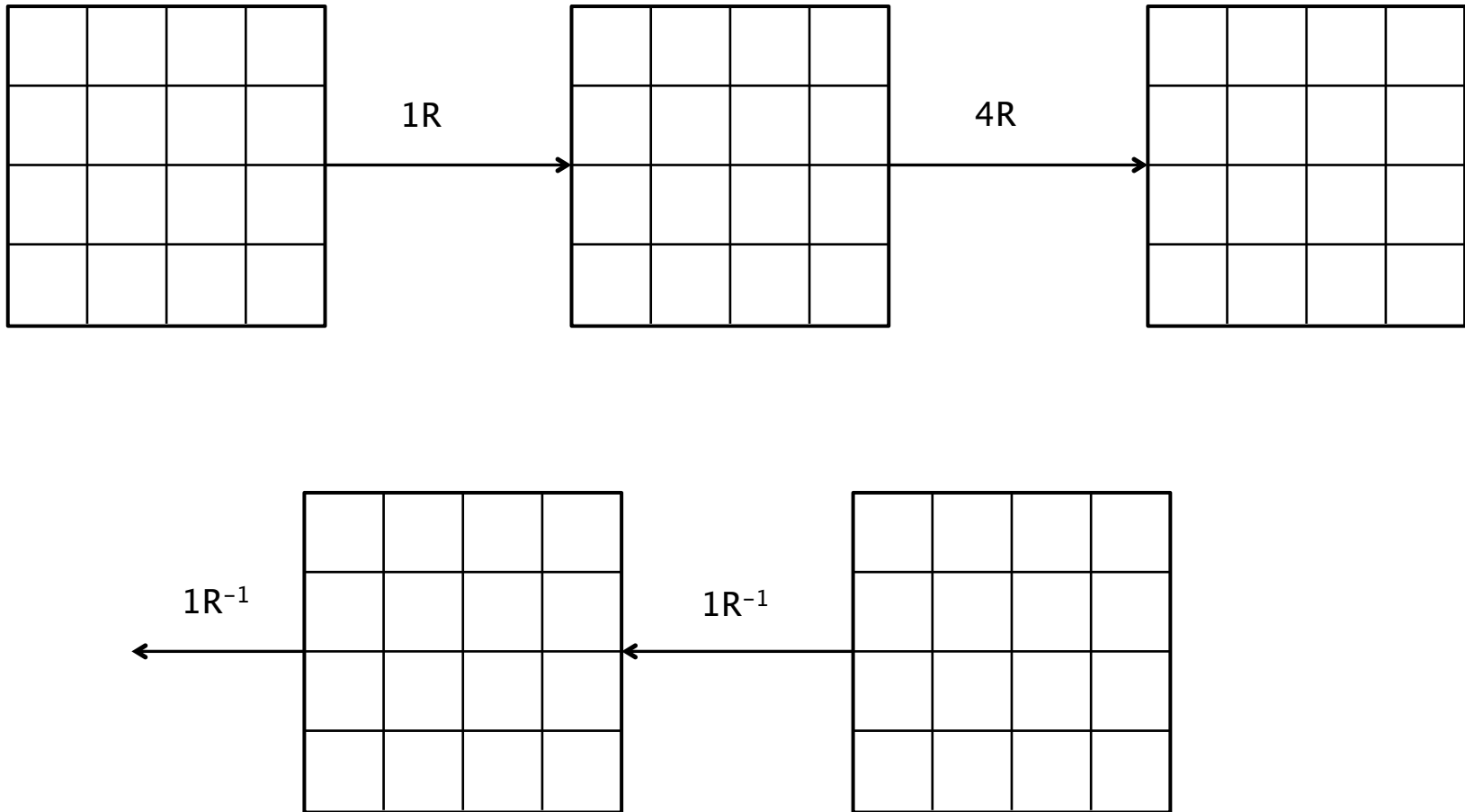
Nombre de séquences possibles réduit à  $2^{129}$

- Facteur 2 dû aux deux cas  $P_0 = P$  et  $P_0 = P'$  dans la construction de la séquence.

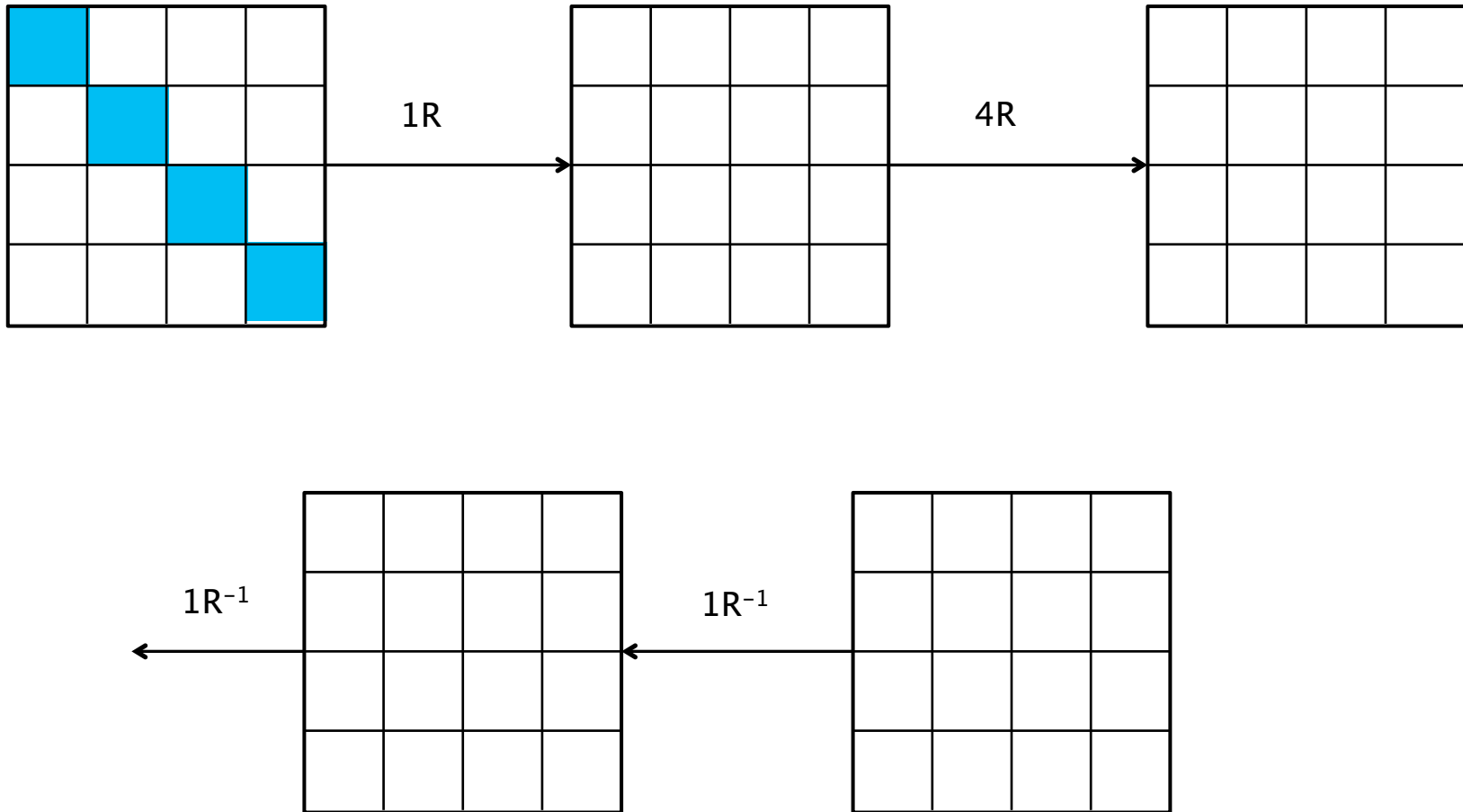
# Énumération différentielle

- En contrepartie, on ne peut utiliser que des paires vérifiant ce chemin différentiel
- Comme la paire est contenue dans une structure et que la probabilité de la transition est  $2^{-120}$ ,  $2^{105}$  structures sont nécessaires (chacune contenant  $2^{15}$  candidats)
- Identifier les paires est relativement facile

# 7-Round Attack

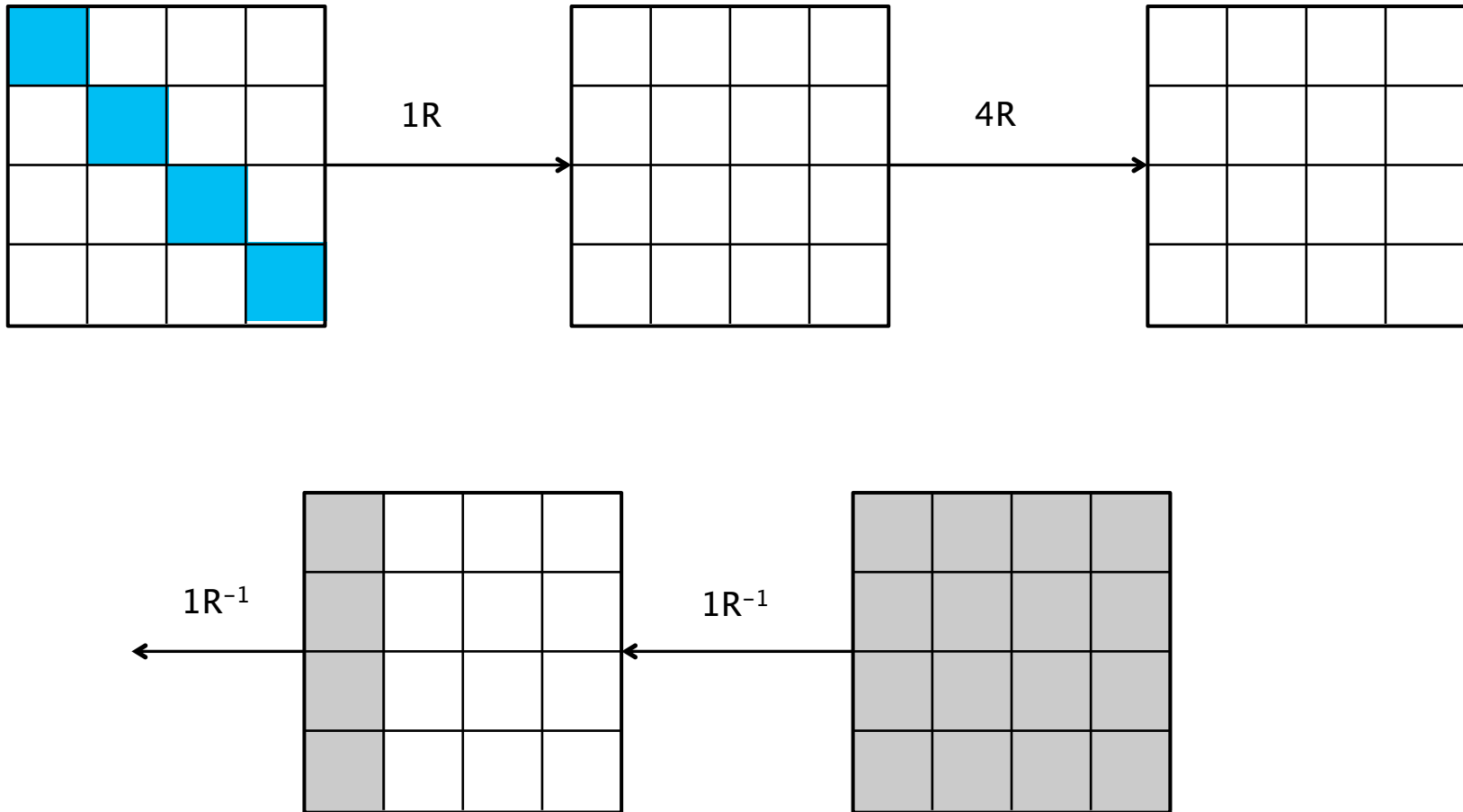


# 7-Round Attack



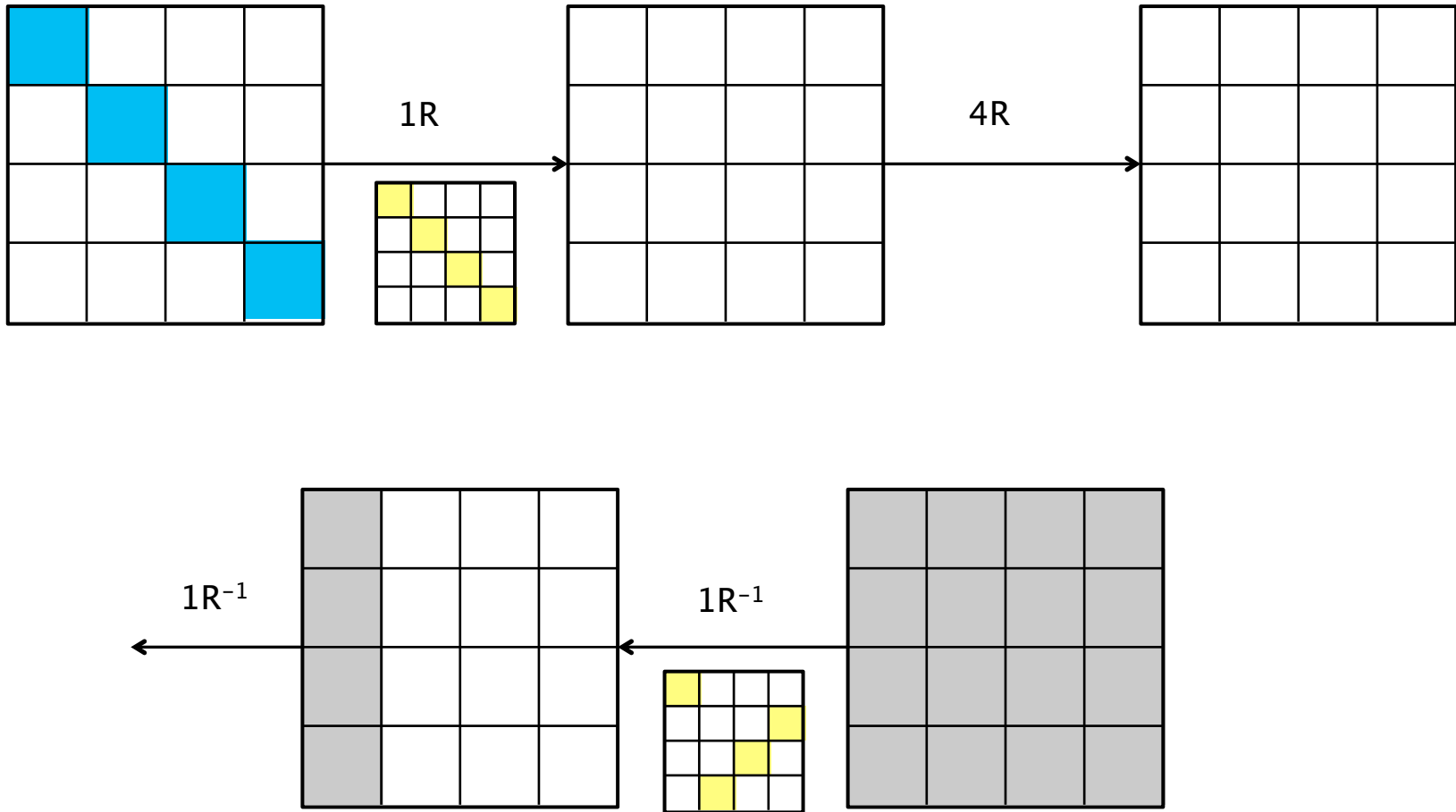
- Demander une structure de  $2^{32}$  messages

# 7-Round Attack



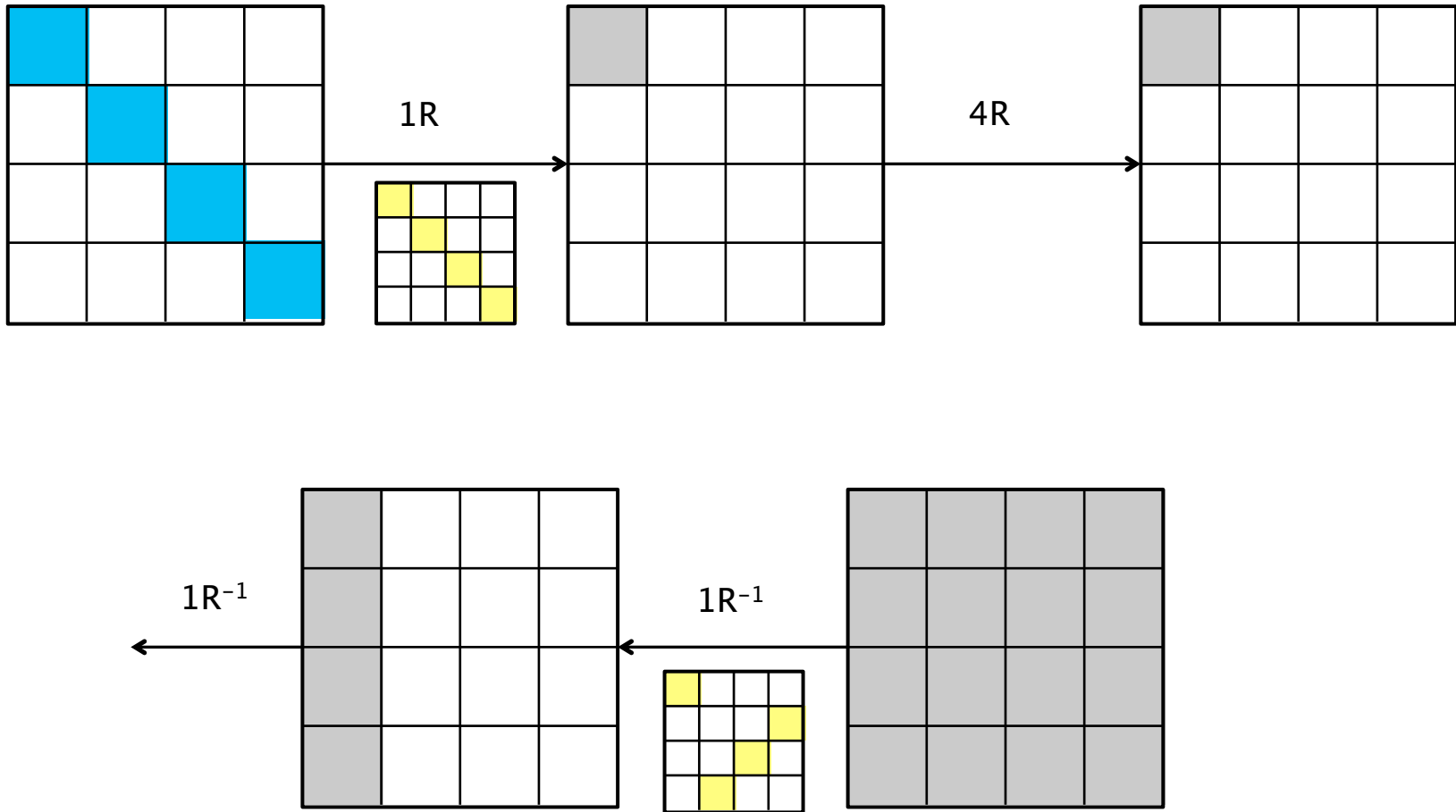
- Identifier les paires vérifiant la transition  $4 \rightarrow 16$ .

# 7-Round Attack



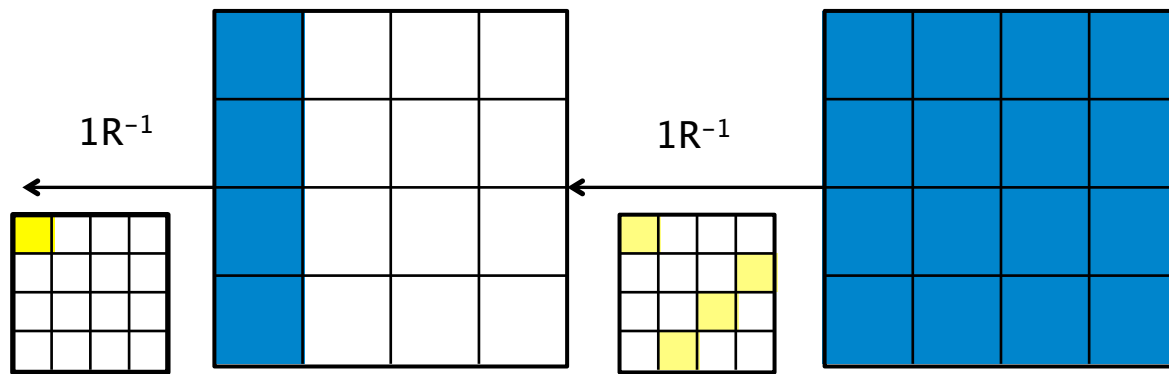
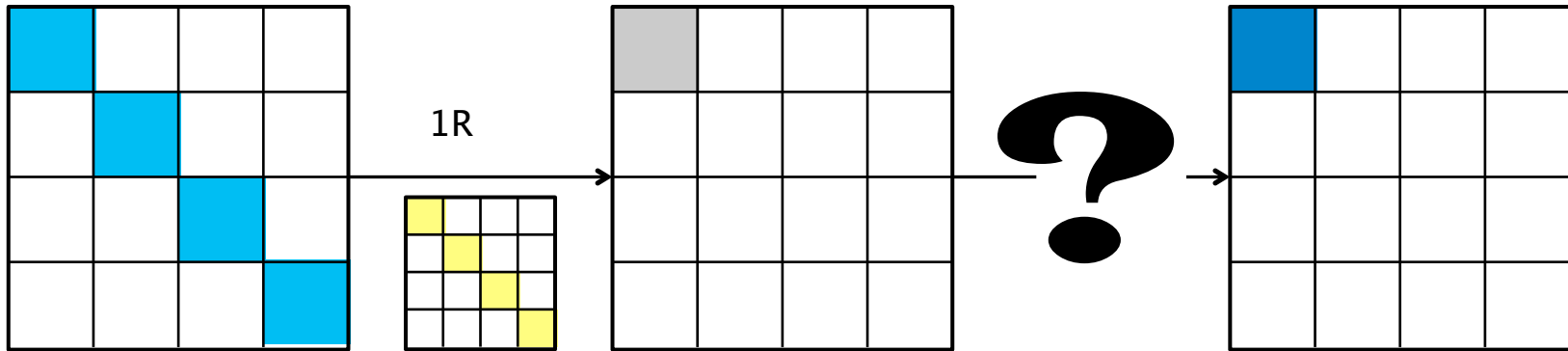
- Identifier les paires vérifiant la transition.

# 7-Round Attack



- Identifier les paires vérifiant la transition (complète).

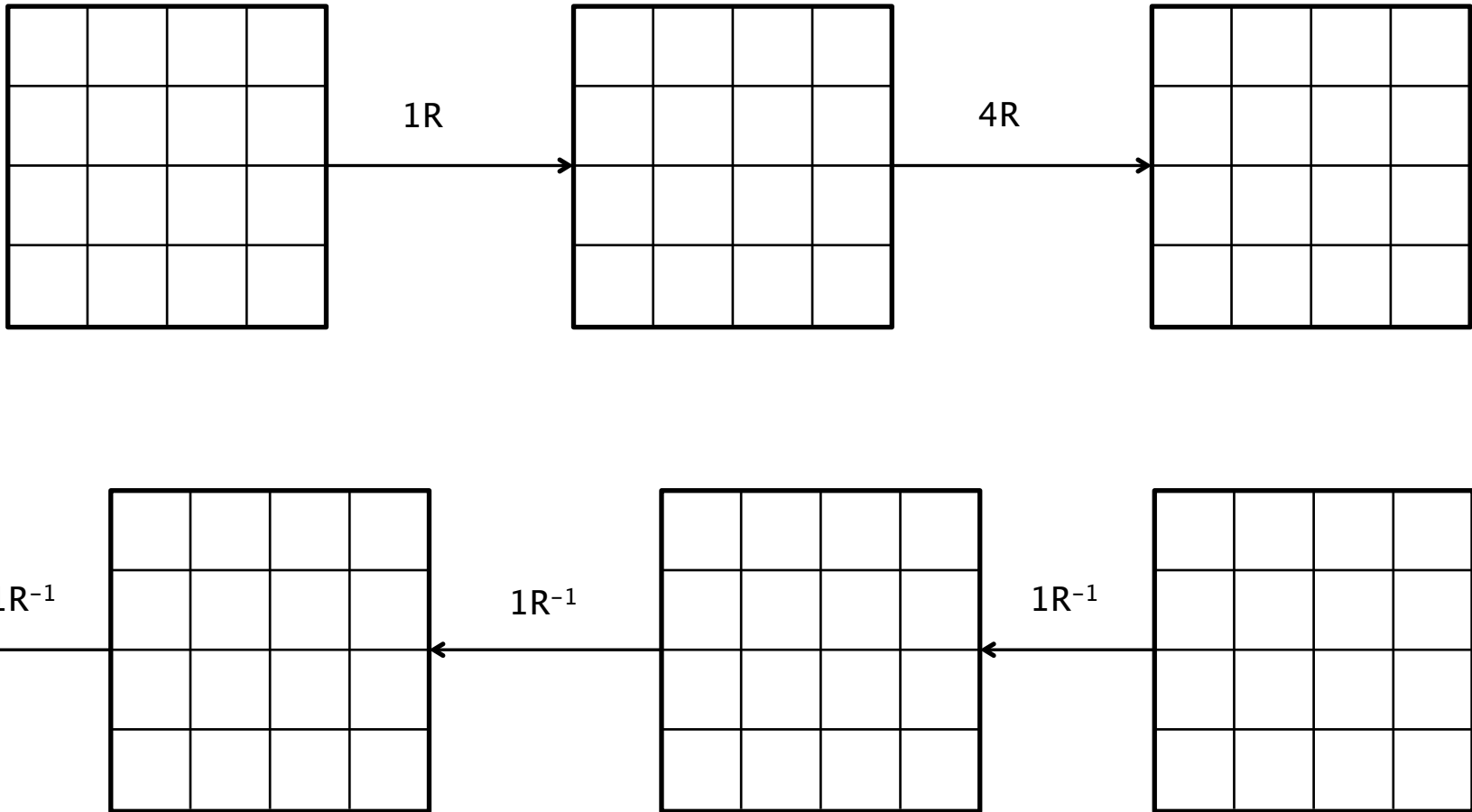
# 7-Round Attack



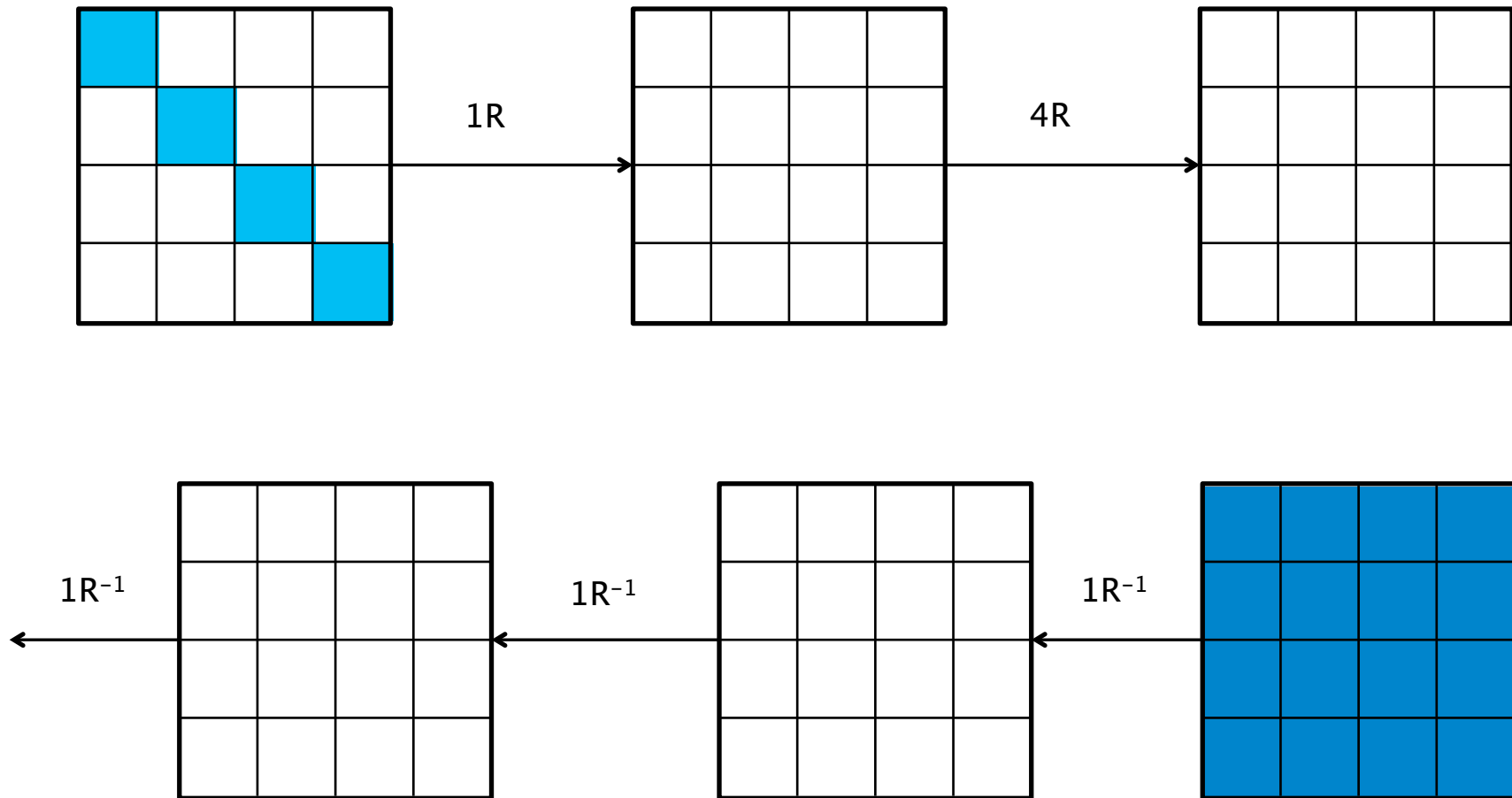
- Pour chaque bonne paire vérifier si la suite est valide



# 8-Round Attack

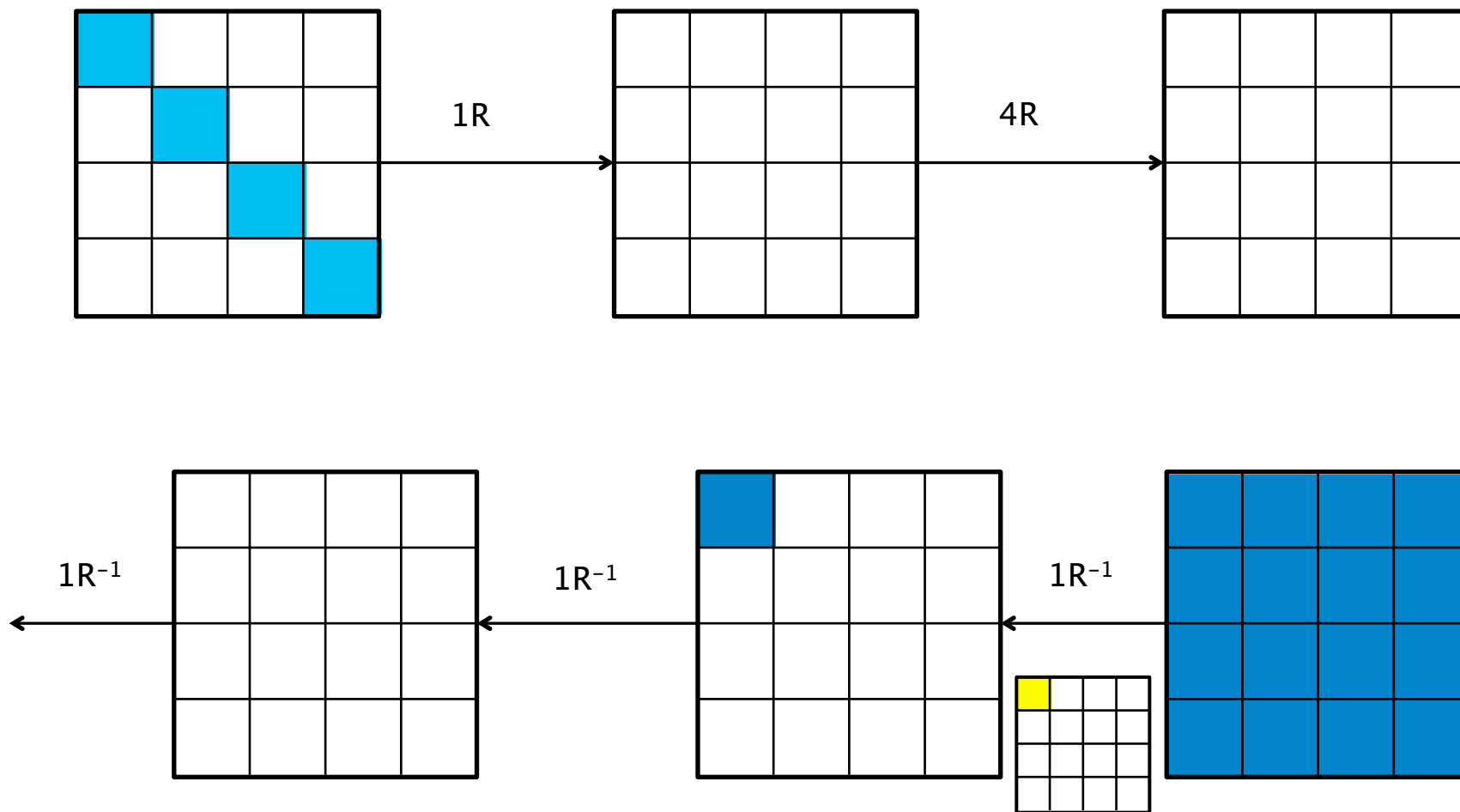


# 8-Round Attack



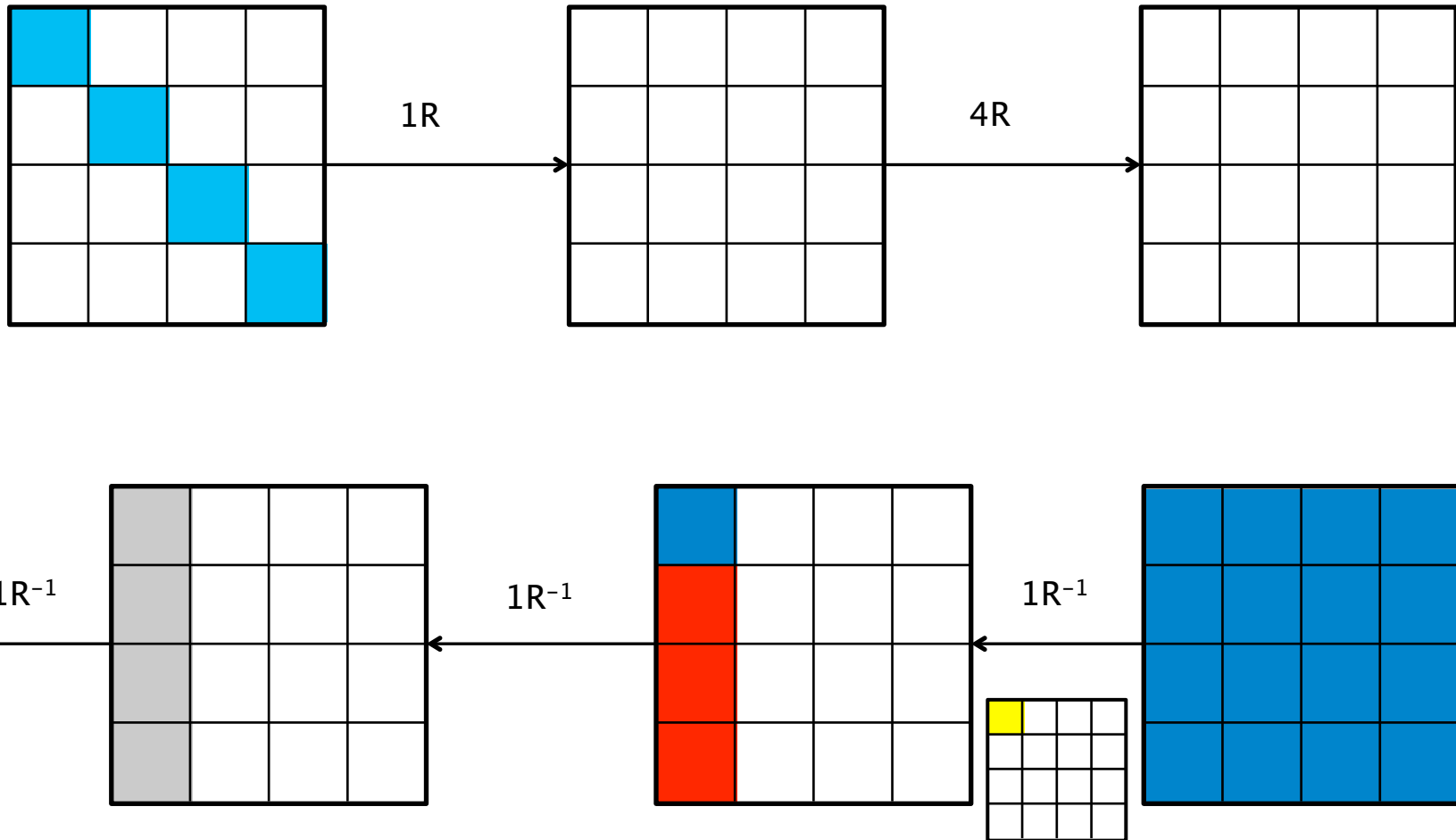
- Demander une structure de  $2^{32}$  messages.

# 8-Round Attack



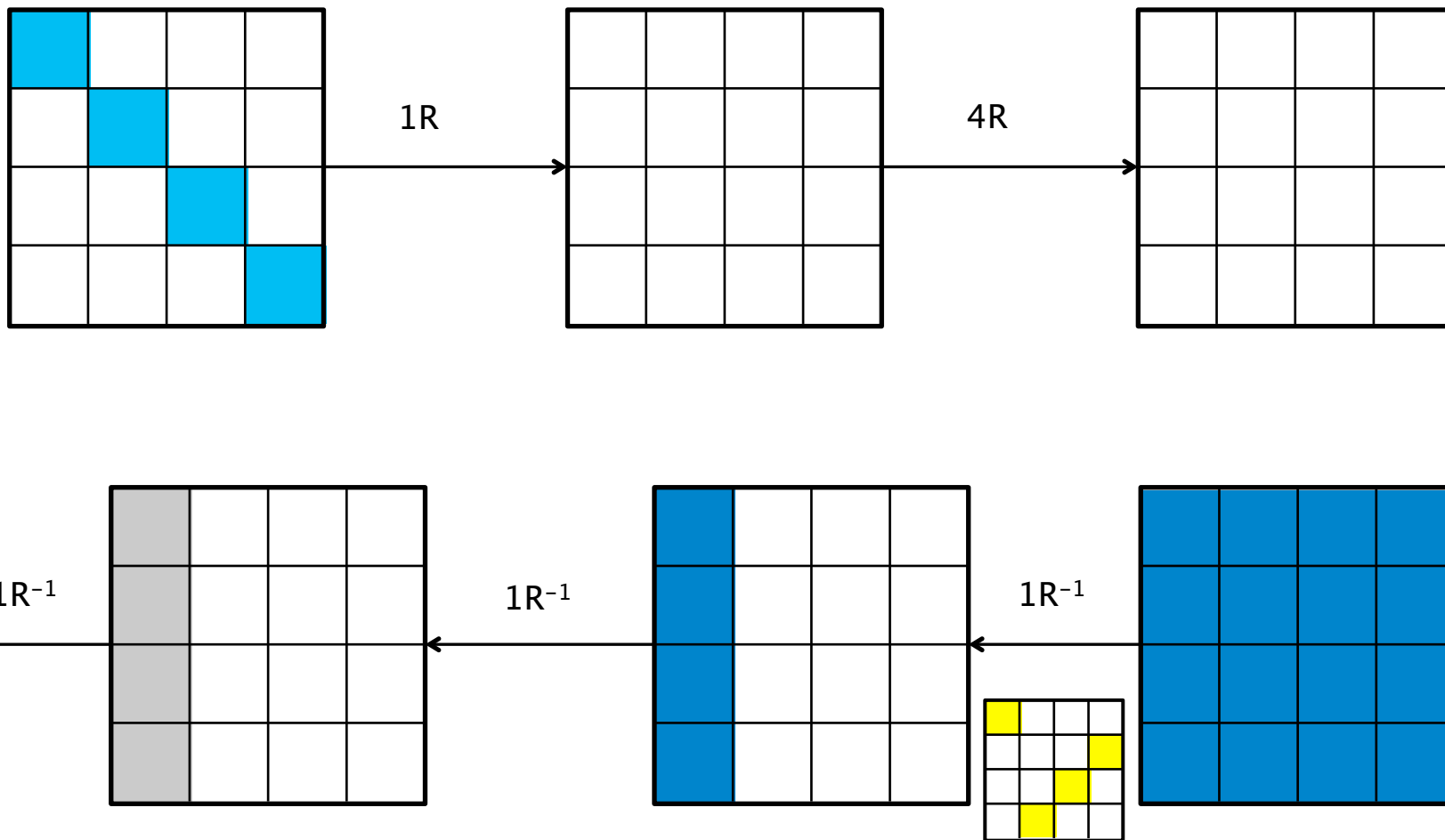
- Examiner chaque paire, et deviner un octet de  $U_8$  (ou  $K_8$ )

# 8-Round Attack



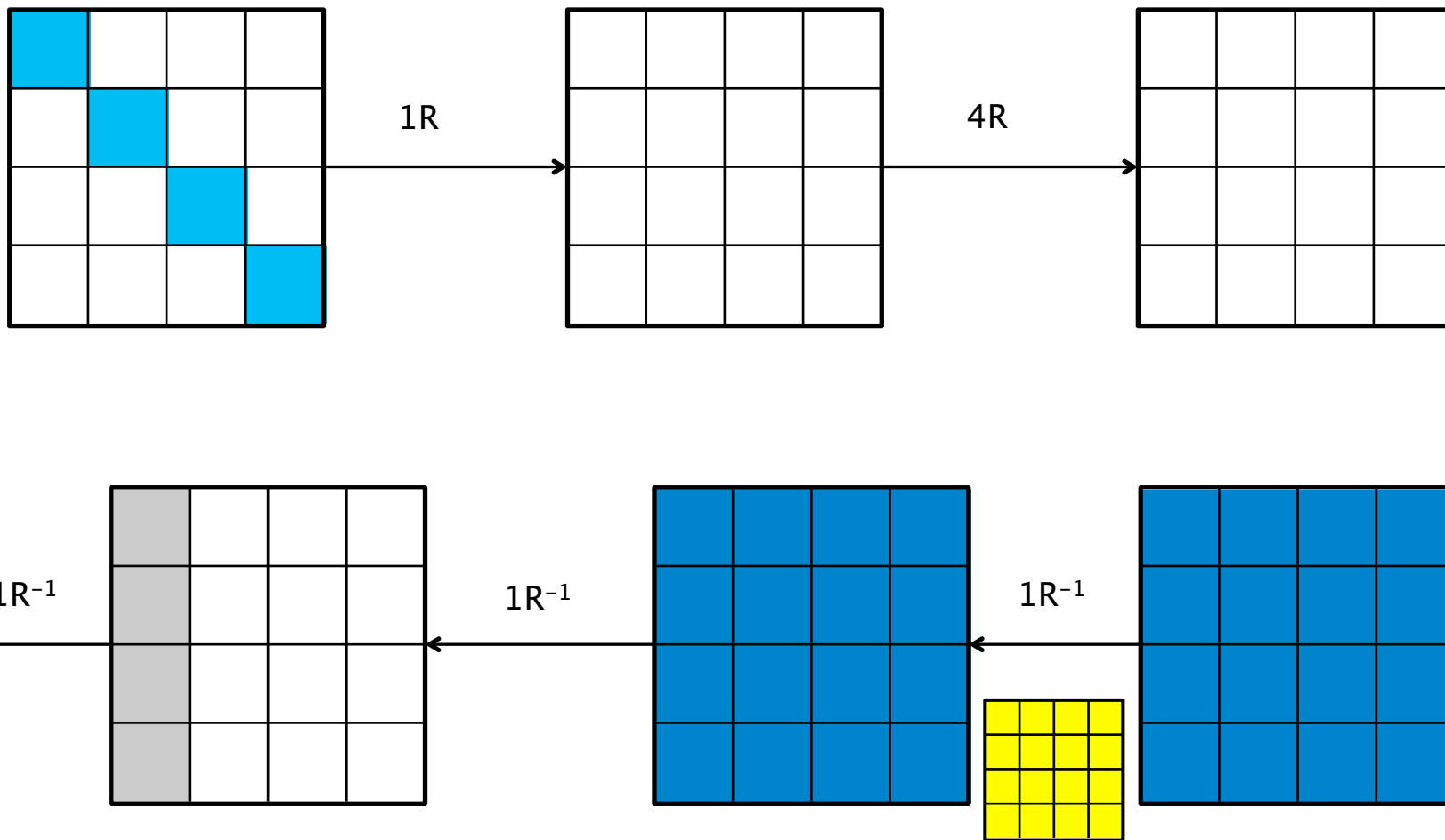
- Obtenir la différence sur la colonne.

# 8-Round Attack



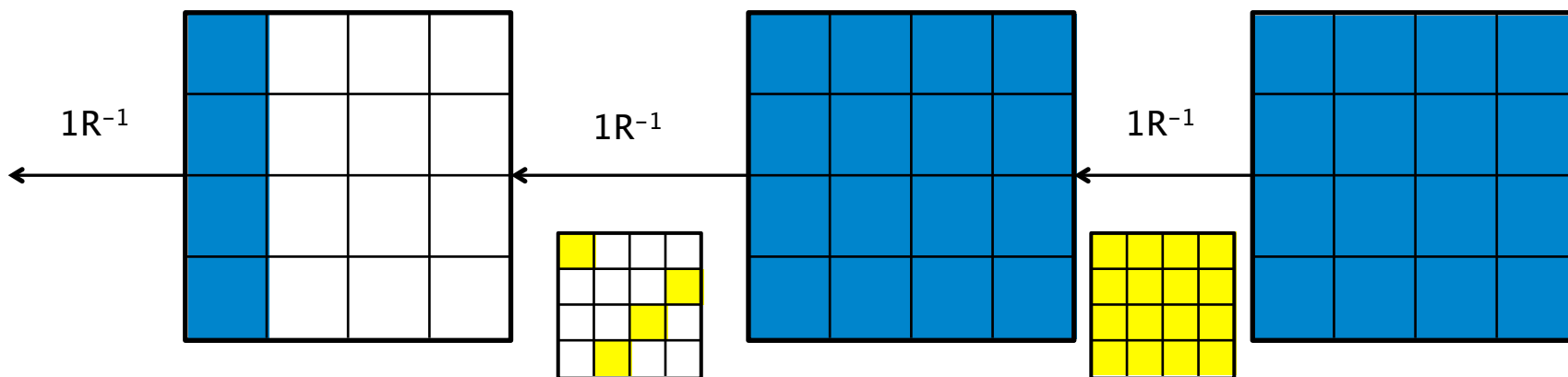
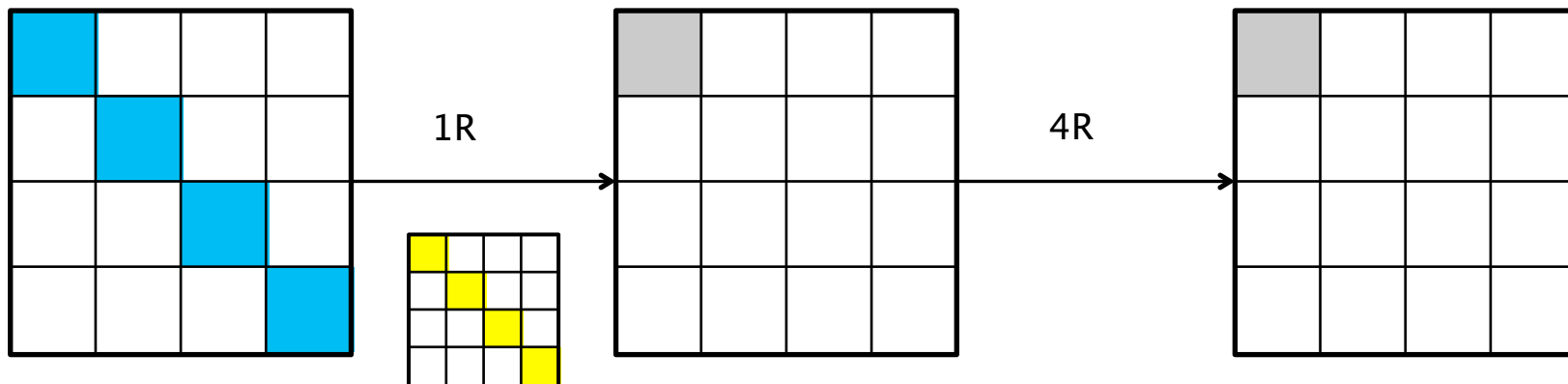
- Retrouver les octets de clé correspondant.

# 8-Round Attack



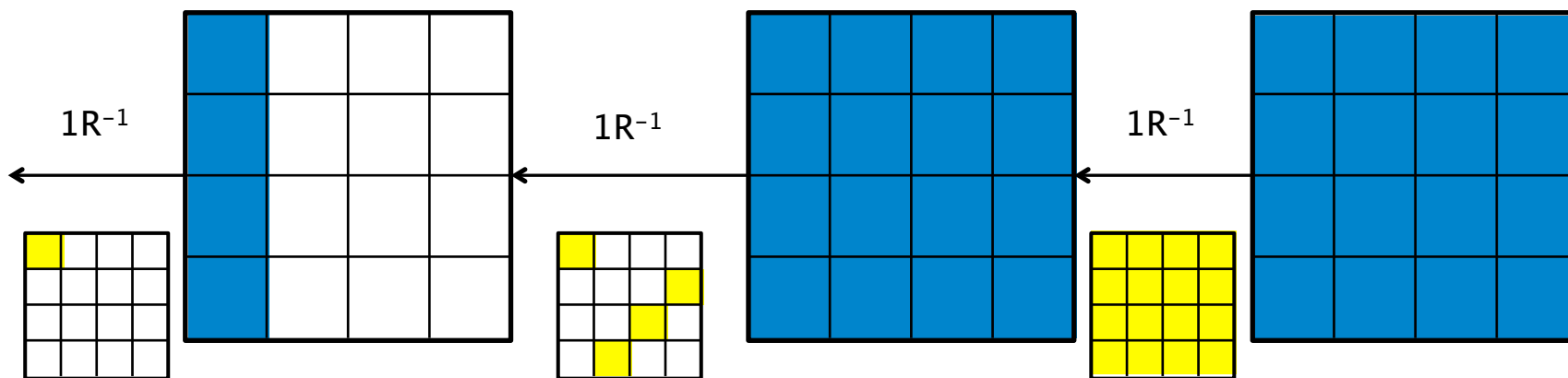
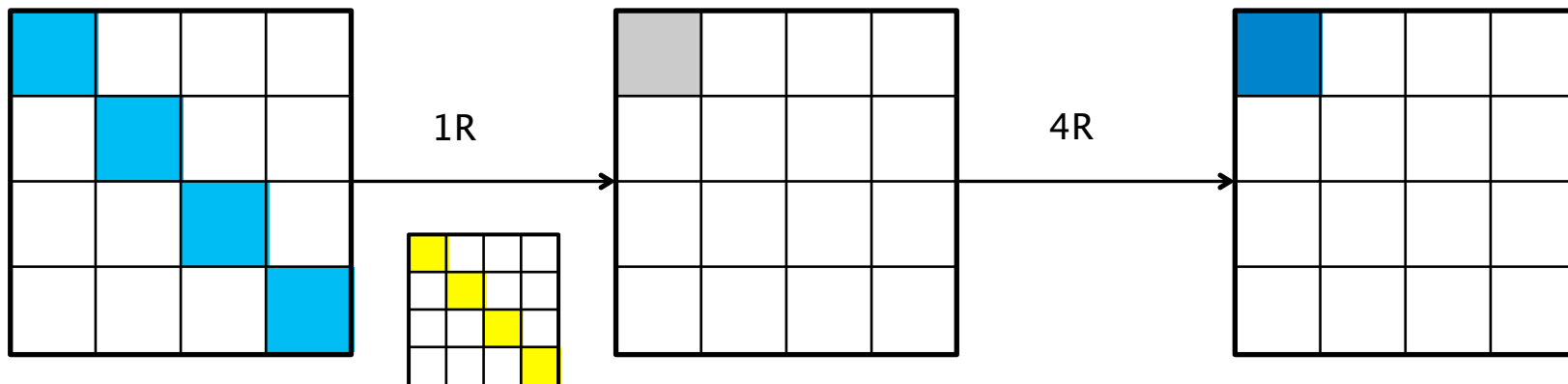
- Répéter l'opération sur les autres colonnes pour  $U_8$ .

# 8-Round Attack



- De manière similaire, obtenir 4 octets de  $K_0$  et 4 de  $U_7$ .

# 8-Round Attack



- Construire la suite et vérifier si elle est valide.

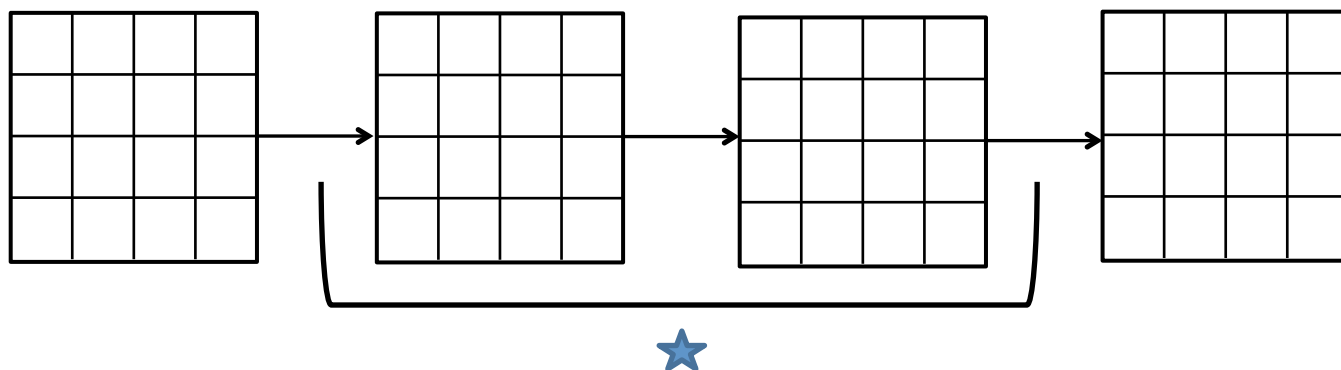


# Résultats:

Version	Rounds	Data	Memory (Pre.)	Time	MinMax
All	7	$2^{103+n}$	$2^{129-n}$	$2^{103+n}$	$2^{116}$
AES-192	8	$2^{113+n}$	$2^{129-n}$	$2^{172+n}$	$2^{172}$
AES-256	8	$2^{113+n}$	$2^{129-n}$	$2^{196+n}$	$2^{196}$

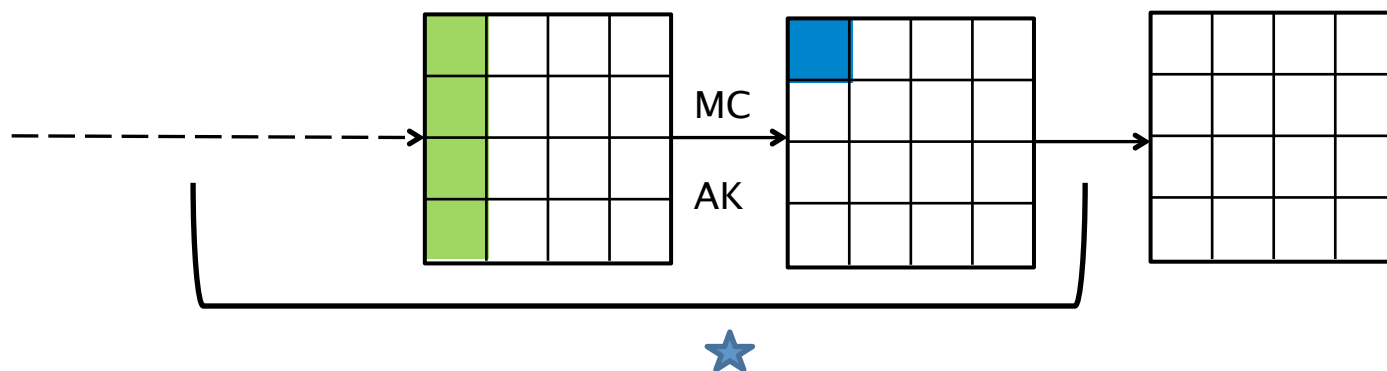
- Découverte d'une nouvelle relation entre les octets de sous-clés séparés par plusieurs tours
- Meilleure attaque connue sur 8 tours d'AES-256 (dans le modèle standard)
- Complexité en données élevée

# Squelette des attaques



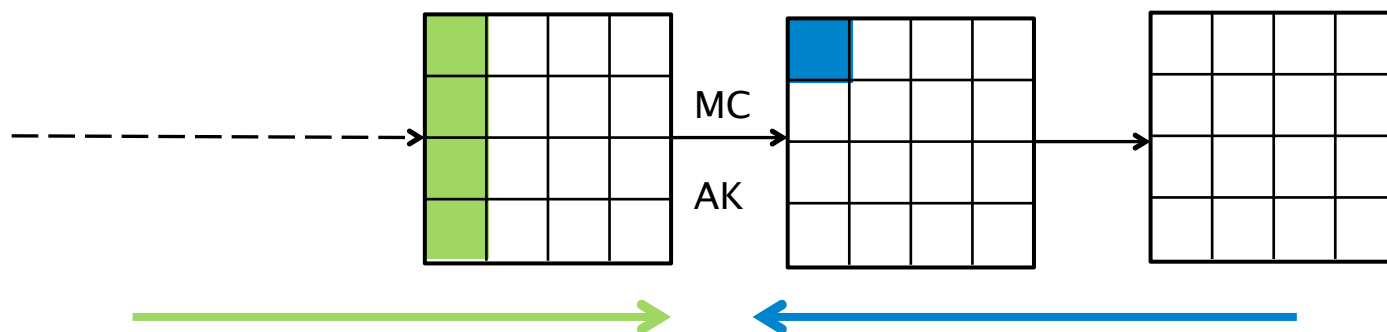
1. Construire la table des séquences possibles quand l'un des messages vérifie une certaine propriété ★
2. Identifier un message vérifiant la propriété
3. Identifier une structure de 256 messages contenant le message
4. Déchiffrer partiellement la structure et vérifier si la suite est dans la table

# Squelette des attaques



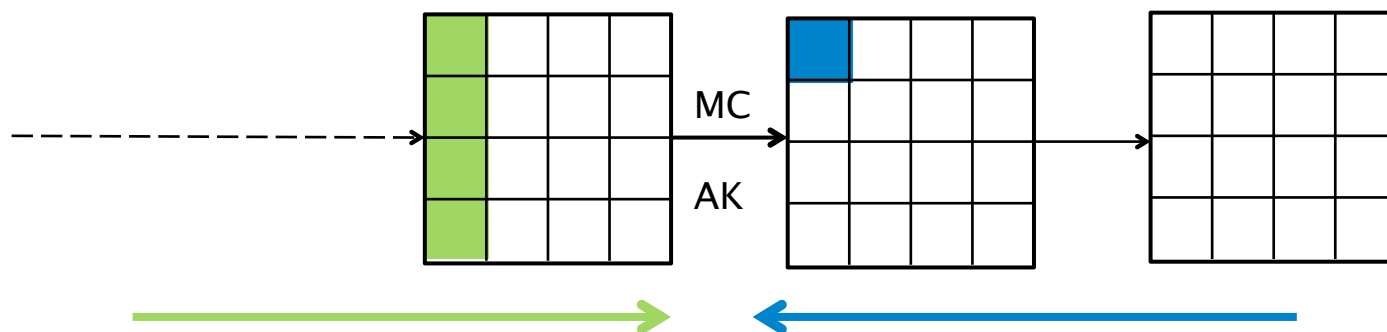
1. Construire la table des suites possibles quand l'un des messages vérifie une certaine propriété ★
2. Identifier un message vérifiant la propriété
3. Identifier une structure de 256 messages contenant le message
4. Déchiffrer partiellement la structure et vérifier si la suite est dans la table

# Squelette des attaques




- Equation linéaire entre les différences des octets **verts** et **bleus**

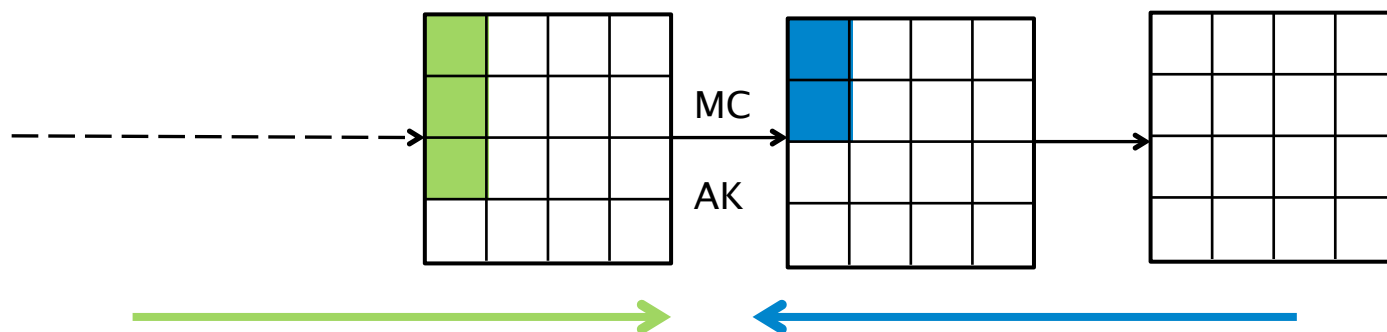
# Squelette des attaques



- Equation linéaire entre les différences des octets **verts** et **bleus**
- Utiliser la propriété du MixColumn :

 Nouveaux Trade-Off possibles!

# Squelette des attaques

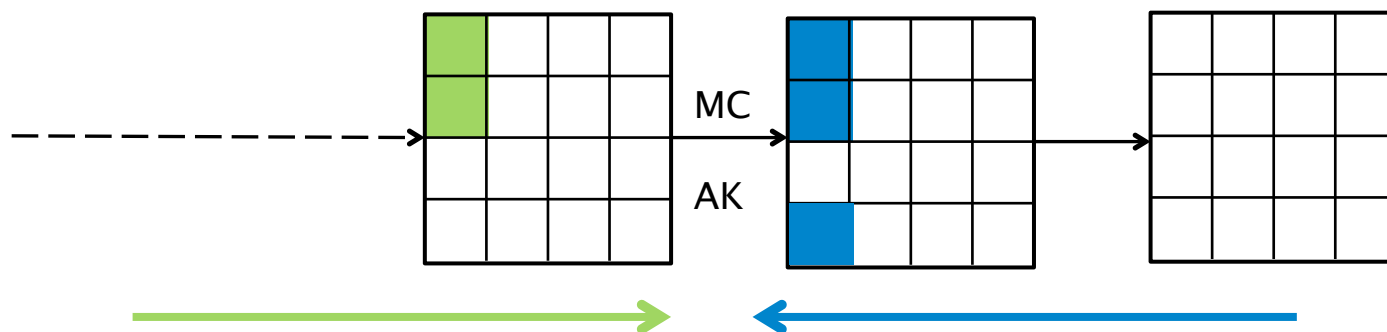


- Equation linéaire entre les différences des octets **verts** et **bleus**
- Utiliser la propriété du MixColumn :



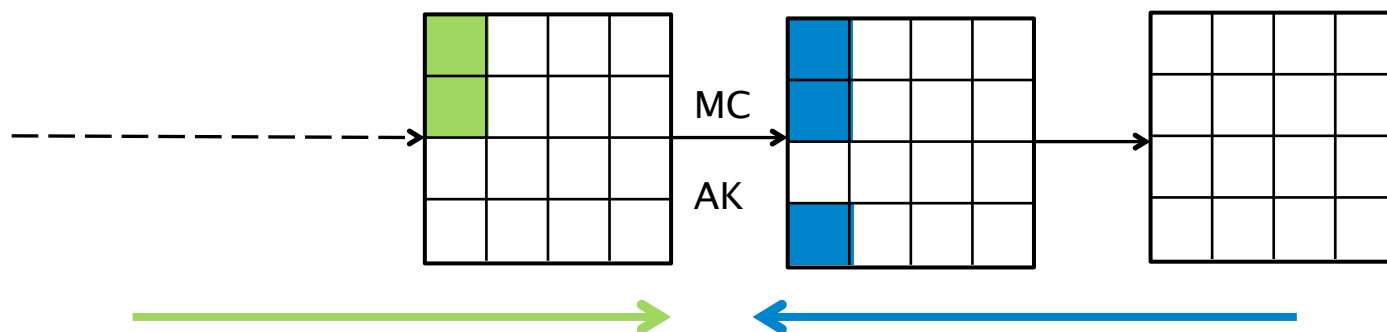
**Nouveaux Trade-Off  
possibles!**

# Squelette des attaques



- Equation linéaire entre les différences des octets **verts** et **bleus**.
- Utiliser la propriété du MixColumn :  
➡ Nouveaux Trade-Off possibles!

# Squelette des attaques



- Equation linéaire entre les différences des octets **verts** et **bleus**
- Utiliser la propriété du MixColumn :  
➡ **Nouveaux Trade-Off possibles!**
- Plus de cas possibles → chance d'améliorer les attaques précédentes



# Automatisation

- Beaucoup de cas à tester → automatisons la recherche !
  1. Construire la table des suites possibles quand l'un des messages vérifie une certaine propriété ★
  2. Identifier un message vérifiant la propriété
  3. Identifier une structure de 256 messages contenant le message
  4. Déchiffrer partiellement la structure et vérifier si la suite est dans la table

# Automatisation

- Beaucoup de cas à tester → automatisons la recherche !

1. Construire la table des séquences possibles quand l'un des messages vérifie une certaine propriété ★.
2. Identifier un message vérifiant la propriété.
3. Identifier une structure de 256 messages contenant le message.
4. Déchiffrer partiellement la structure et vérifier si la séquence est dans la table.

# Automatisation

- Beaucoup de cas à tester → automatisons la recherche !

1. Construire la table des séquences possibles quand l'un des messages vérifie une certaine propriété ★.

2. Identifier un message vérifiant la propriété.

3. Identifier une structure de 256 messages contenant le message.

4. Déchiffrer partiellement la structure et vérifier si la séquence est dans la table.

- Chaque étape nécessite de deviner des octets des états intermédiaires et des sous-clés.
- Problème : Énumérer ces octets sous la contrainte de la propriété★ et/ou du keyschedule.

# Automatisation

- Problème résolu en utilisant l'outil développé par Bouillaguet, Derbez et Fouque.

**Algorithme** : Outil

**Entrée** : un système d'équations  $E$  en les variables  $X$ .

**Sortie** : le meilleur algorithme pour énumérer les solutions de  $E$ .

**Algorithme** : Fun

**Entrée** : un système d'équations  $E$  en les variables  $X$  et un ensemble  $Y \subseteq X$ .

**Sortie** : un ensemble de variable  $Y \subseteq Z \subseteq X$  et le meilleur algorithme pour énumérer les solutions du sous-système de  $E$  en les variables  $Z$ .



Heureusement, on dispose d'un meilleur algorithme que la recherche exhaustive !

# Résultats (DS)

Version	Rounds	Data	Memory (Pre.)	Time	Ref.
AES-192	7	$2^{95}$	$2^{143}$	$2^{143}$	DS
	7	$2^{116}$	$2^{116}$	$2^{116}$	DKS
	7	$2^{32}$	$2^{130}$	$2^{130}$	New
	8	$2^{113}$	$2^{129}$	$2^{172}$	DKS
	8	$2^{32}$	$2^{182}$	$2^{182}$	New

Version	Rounds	Data	Memory (Pre.)	Time	Ref.
AES-256	7	$2^{95}$	$2^{143}$	$2^{143}$	DS
	7	$2^{116}$	$2^{116}$	$2^{116}$	DKS
	7	$2^{32}$	$2^{134}$	$2^{134}$	New
	8	$2^{95}$	$2^{143}$	$2^{143}$	DS
	8	$2^{113}$	$2^{129}$	$2^{196}$	DKS
	8	$2^{32}$	$2^{193}$	$2^{195}$	New

# Résultats

- Des attaques avec encore moins de données :

Version	Rounds	Data	Memory (Pre.)	Time
AES-128	6	$2^8$	$2^{106}$	$2^{106}$
AES-192	7	$2^8$	$2^{153}$	$2^{163}$
AES-256	7	$2^{16}$	$2^{178}$	$2^{178}$
AES-256	8	$2^8$	$2^{234}$	$2^{234}$

- Des attaques par « bicliques » :

Version	Rounds	Data	Memory (Pre.)	Time
AES-128	7	$2^{32}$	$2^{126,5}$	$2^{126,5}$
AES-256	9	$2^{32}$	$2^{254,2}$	$2^{254,2}$

# Résultats (DKS)

- Les attaques trouvées par Dunkelman, Keller et Shamir sont optimales mais ...
- ... la taille de la table a été largement surestimée :

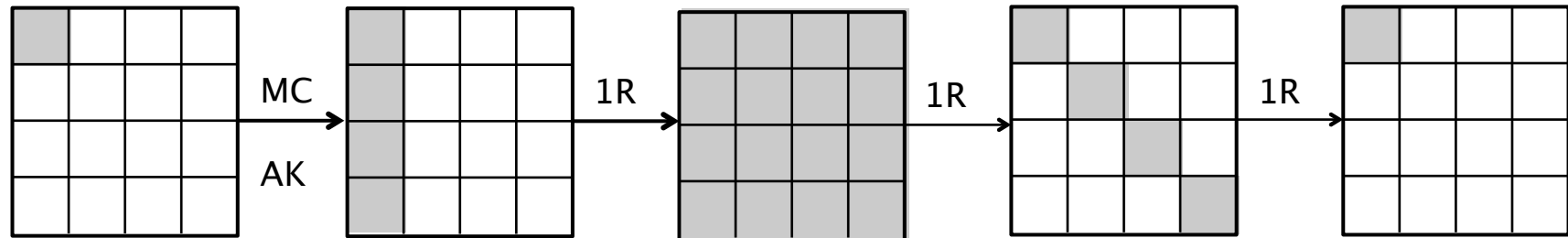
$$2^{129} \rightarrow 2^{80} !$$

- Résultats :

Version	Rounds	Data	Memory (Pre.)	Time	Ref.
All	7	$2^{116}$	$2^{116}$	$2^{116}$	DKS
All	7	$2^{100}$	$2^{100}$	$2^{100}$	New
AES-192	8	$2^{113}$	$2^{129}$	$2^{172}$	DKS
AES-192	8	$2^{113}$	$2^{80}$	$2^{172}$	New
AES-256	8	$2^{113}$	$2^{129}$	$2^{196}$	DKS
AES-256	8	$2^{113}$	$2^{80}$	$2^{196}$	New
AES-256	9	$2^{119}$	$2^{206}$	$2^{206}$	New

# Enumération Différentielle

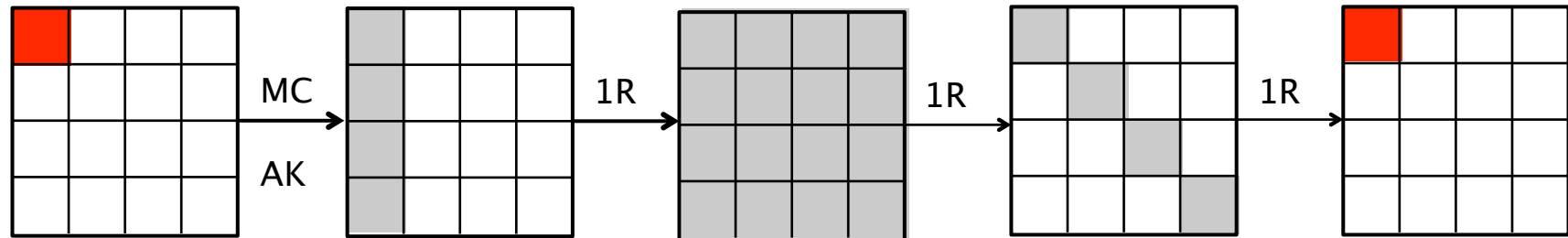
Considérons une paire de messages  $(P, P')$  vérifiant:





# Enumération Différentielle

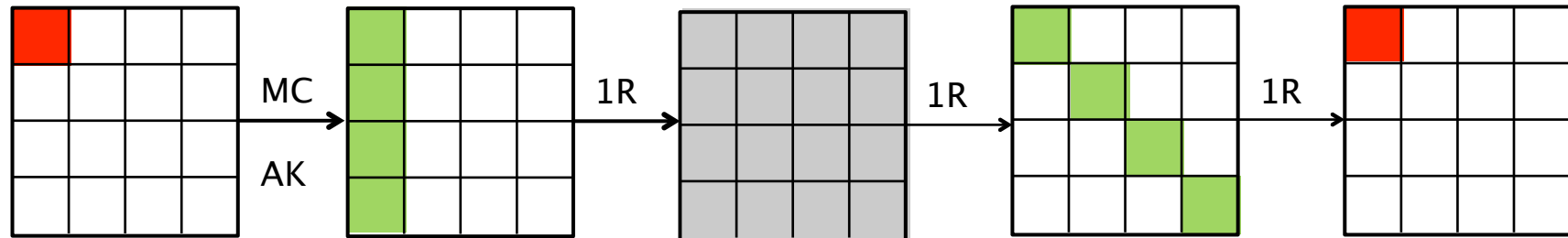
Considérons une paire de messages (P,P') vérifiant:



1. Guesser les différences dans les octets **rouges**.

# Enumération Différentielle

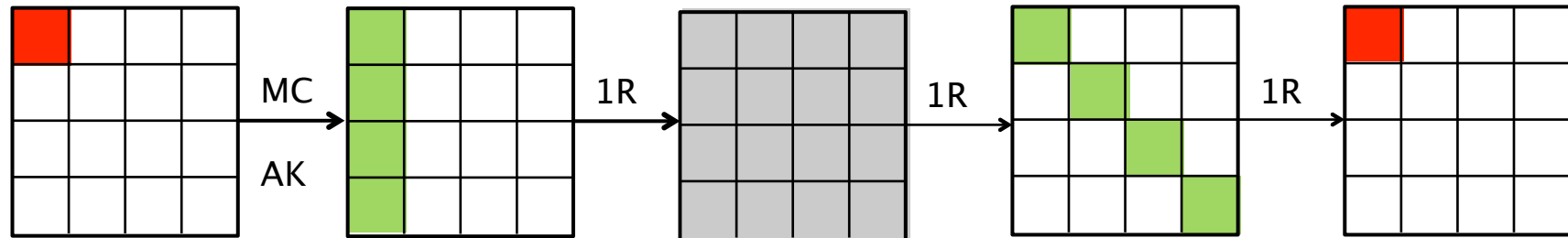
Considérons une paire de messages  $(P, P')$  vérifiant:



1. Guesser les différences dans les octets **rouges**.
2. Guesser les valeurs des octets **verts** de  $P$ .

# Enumération Différentielle

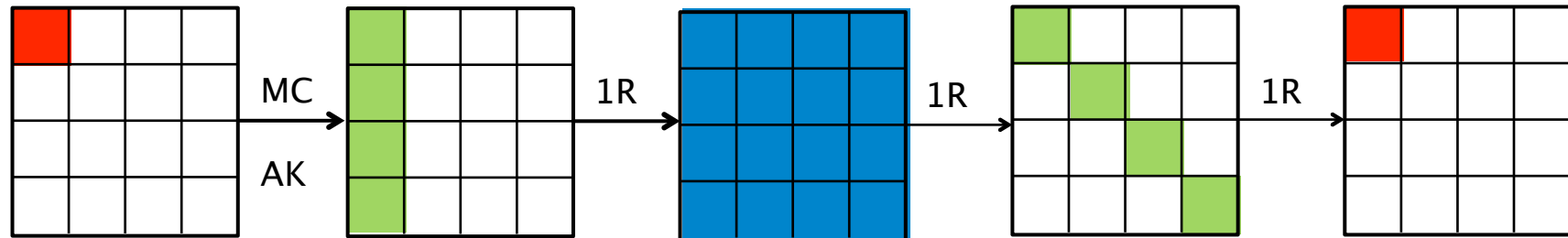
Considérons une paire de messages  $(P, P')$  vérifiant:



1. Guesser les différences dans les octets **rouges**.
2. Guesser la valeurs des octets **verts** de  $P$ .
3. En déduire la valeurs des octets **verts** de  $P'$ .

# Enumération Différentielle

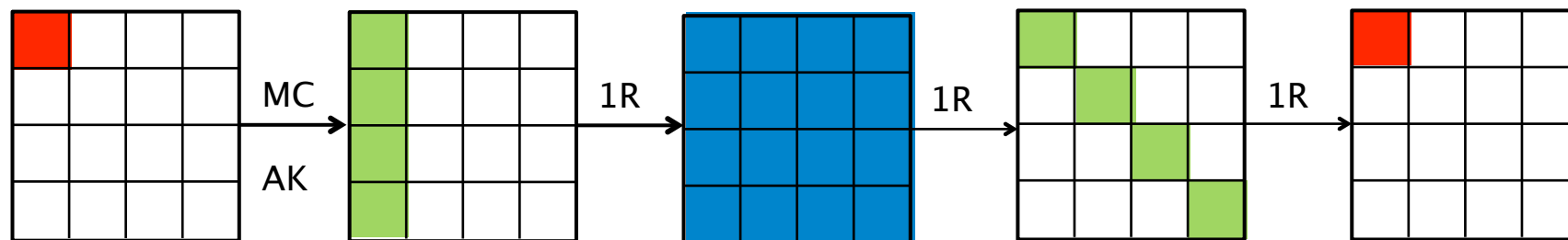
Considérons une paire de messages  $(P, P')$  vérifiant:



1. Guesser les différences dans les octets **rouges**.
2. Guesser la valeurs des octets **verts** de  $P$ .
3. En déduire la valeurs des octets **verts** de  $P'$ .
4. En déduire la valeurs des octets **bleus** de  $P$  et  $P'$ .

# Enumération Différentielle

Considérons une paire de messages  $(P, P')$  vérifiant:



1. Guesser les différences dans les octets **rouges**.
2. Guesser la valeurs des octets **verts** de  $P$ .
3. En déduire la valeurs des octets **verts** de  $P'$ .
4. En déduire la valeurs des octets **bleus** de  $P$  et  $P'$ .



Les octets **bleus** et **verts** sont exactement les 24 paramètres !

# Conclusion

- Baisse significative de la complexité en données des attaques de Demirci et Selçuk
- Baisse importante de la complexité en espace des attaques de Dunkelman, Keller et Shamir
- Meilleure attaque connue sur 7 tours d'AES
- Attaques trouvées automatiquement
- Problème ouvert : Trouver de nouvelles propriétés ★ améliorant les attaques existantes